



Aix*Marseille
université



CPPM, Luminy
13 octobre 2012
10h00

La quête du boson de Higgs

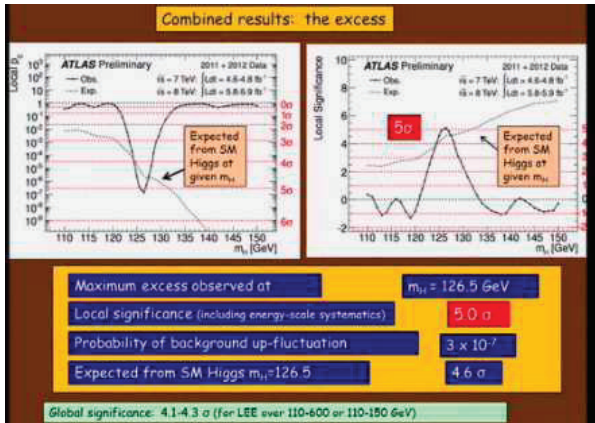
L'accélérateur de particules LHC et l'expérience ATLAS pour percer les secrets de l'Univers

Laurent VACAVANT

Centre de Physique des Particules de Marseille



Que s'est-il passé le 4 juillet 2012 ?



Le Monde | Mise à jour à 10h02 - Paris

EN CIUDADES EUROPEAS desde **15€** (por noche por persona)

EN CIUDADES ESPAÑOLAS desde **17€**

Le boson de Higgs découvert avec 99,9999 % de certitude



Voici la confirmation tant attendue : une nouvelle particule a été découverte au Centre européen de recherche nucléaire (CERN), près de Genève.

The New York Times

ES DIGITAL SUBSCRIPTION: 4 WEEKS FOR 99¢



Pool photo by Denis Balibouse

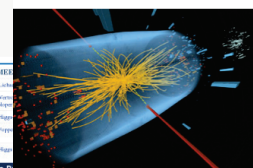
New Particle Could Be Dark Matter

If confirmed to be the elusive Higgs boson, a newly discovered particle named for the physicist Peter Higgs, above in Geneva, could explain the universe's origin.



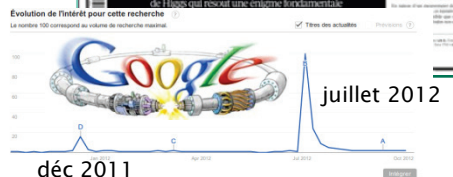
llada “la más sólida evidencia” de existencia del bosón de Higgs

Este descubrimiento de la partícula es un paso esencial hacia la explicación del origen de la materia.



"Puedo confirmar que se ha descubierto una partícula que es consistente con la teoría del bosón de Higgs", dicen los científicos. El descubrimiento de la partícula ayudaría a explicar el origen de la masa. Los físicos del CERN explican en estos momentos sus hallazgos.

- Diccionario para entender en qué consiste el hallazgo
 - La "caza" del bosón de Higgs, por A. RUIZ JIMENO
 - VÍDEO Una explicación del bosón de Higgs
 - Sigue en directo la conferencia del CERN
 - FOTOGALERÍA Indicios hallados de la 'partícula de Dios'
 - 'Macia la partícula de Dios', por JAVIER SAMPERIO



La quête du boson de Higgs

NOBODY UNDERSTANDS ME!



« Personne ne me comprend ! »

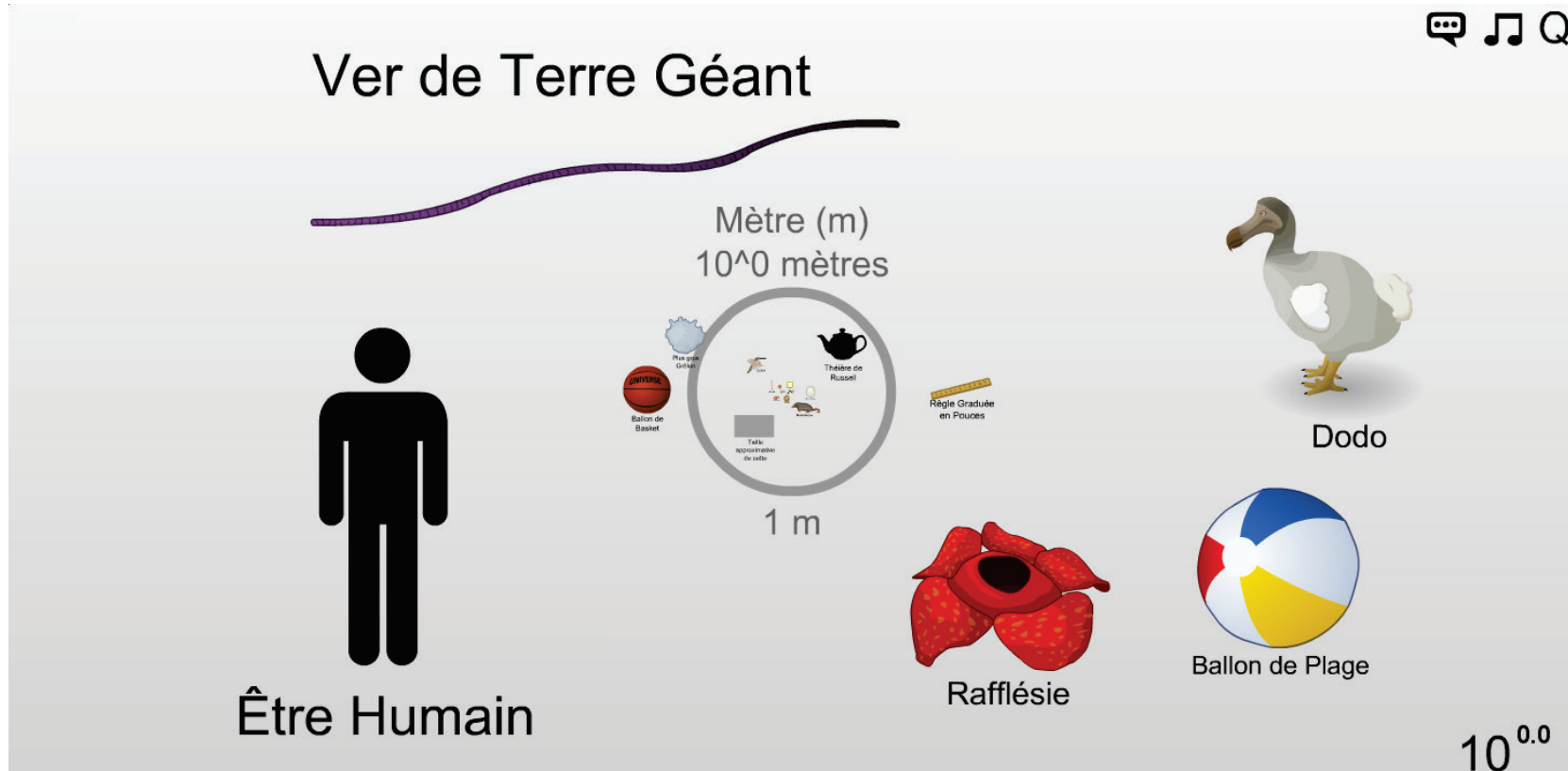
Cette présentation:

- L'infiniment petit
- Les particules élémentaires
- Les forces
- Le mécanisme de Higgs
- Accélérateurs et le LHC
- Le détecteur ATLAS
- Recherche du boson de Higgs

→ notion assez difficile à vulgariser

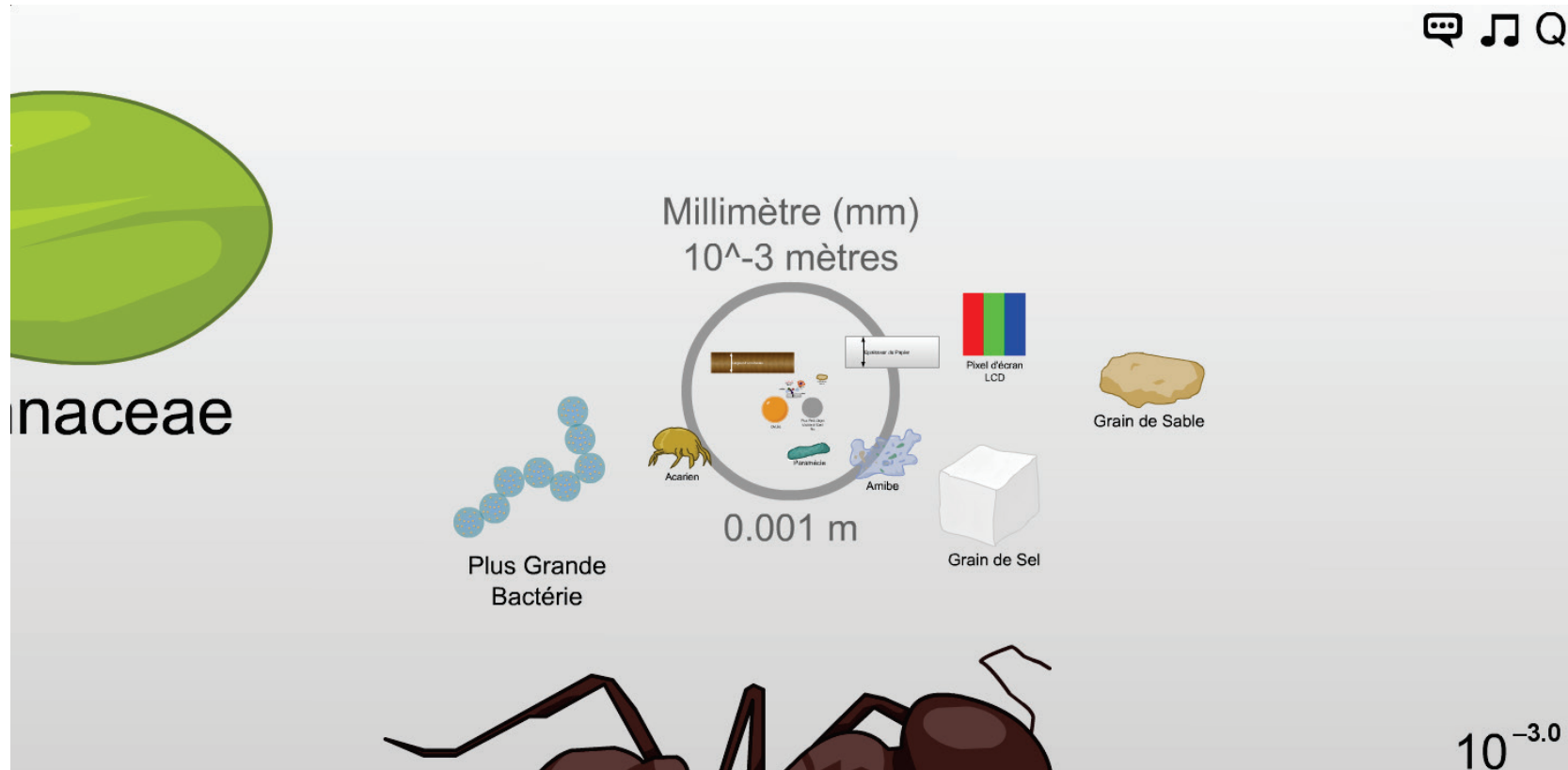
Voyage vers l'infiniment petit

1 m



Voyage vers l'infiniment petit

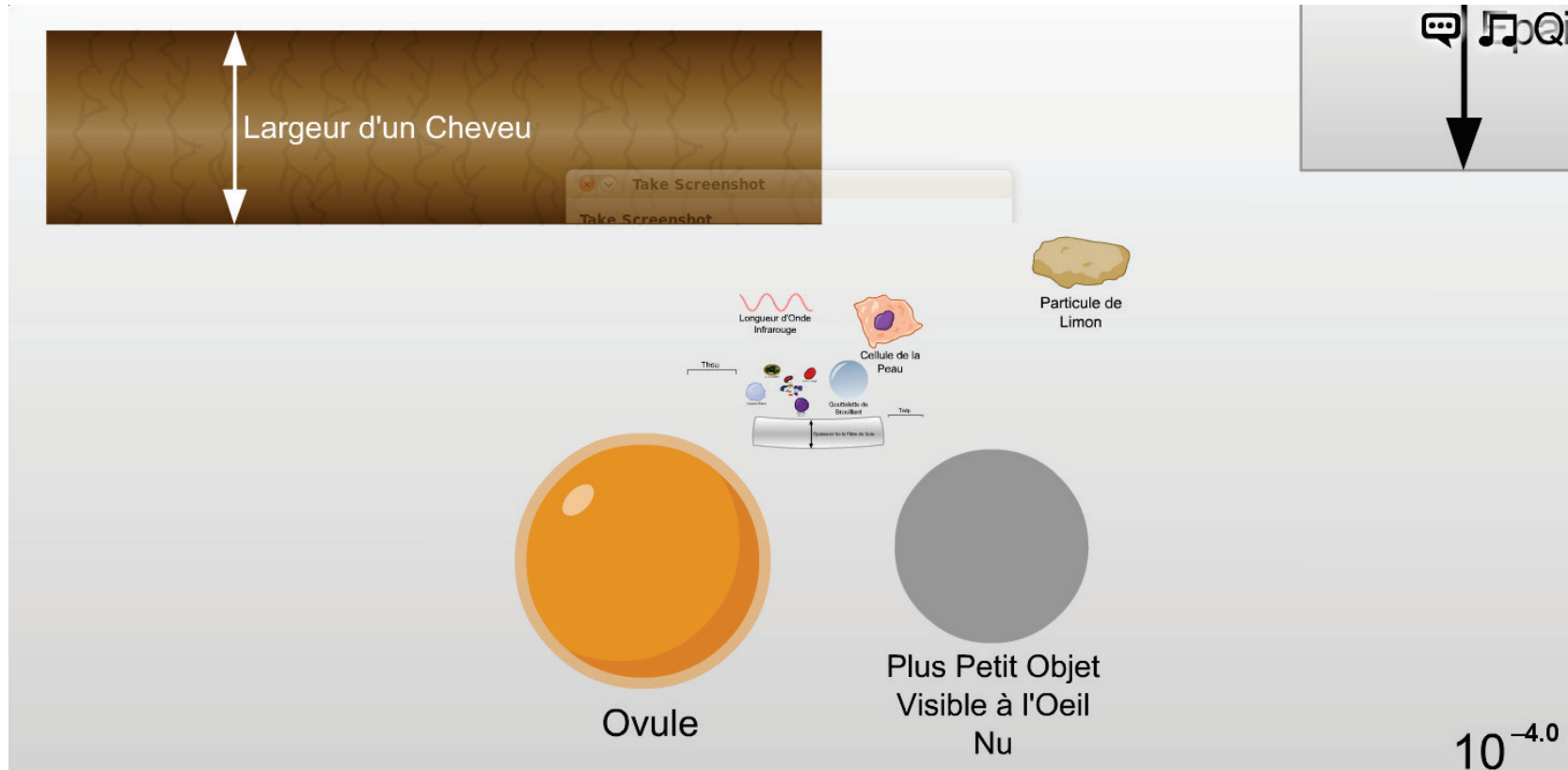
$$1 \text{ mm} = 10^{-3} \text{ m} = 0.001 \text{ m}$$



© 2012 Cary and Michael Huang (<http://htwins.net>)

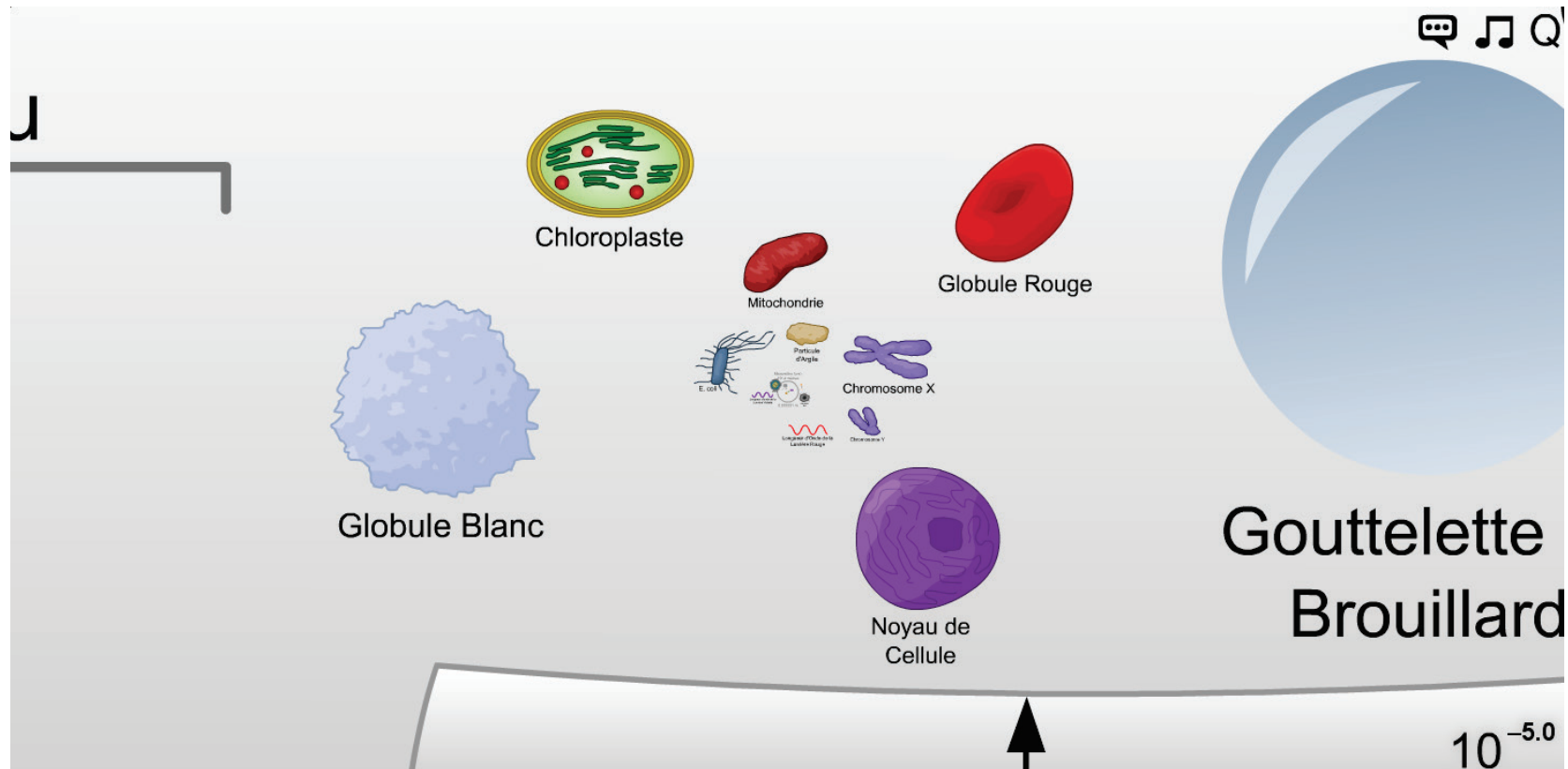
Voyage vers l'infiniment petit

$$1/10 \text{ mm} = 10^{-4} \text{ m} = 0.0001 \text{ m}$$



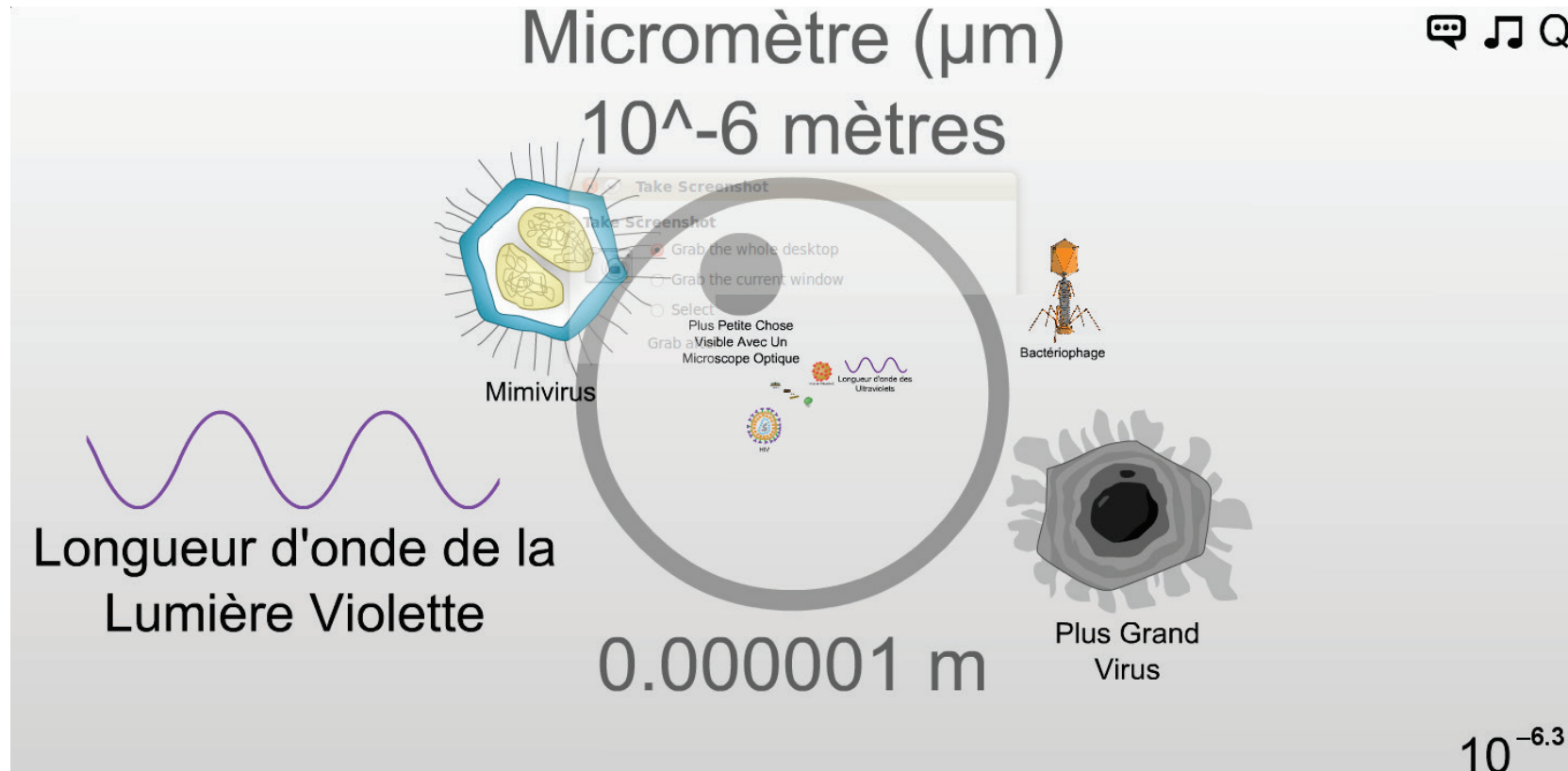
Voyage vers l'infiniment petit

$$1/100 \text{ mm} = 10^{-5} \text{ m} = 0.0001 \text{ m}$$



Voyage vers l'infiniment petit

$$1 \text{ } \mu\text{m} = 10^{-6} \text{ m} = 0.000001 \text{ m}$$



Voyage vers l'infiniment petit

$$1/10 \text{ } \mu\text{m} = 10^{-7} \text{ m} = 0.0000001 \text{ m}$$

Plus Petite Chose
Visible Avec Un
Microscope Optique

Transistor

Virus de l'Hépatite B

Longueur d'onde des Ultraviolets

HIV

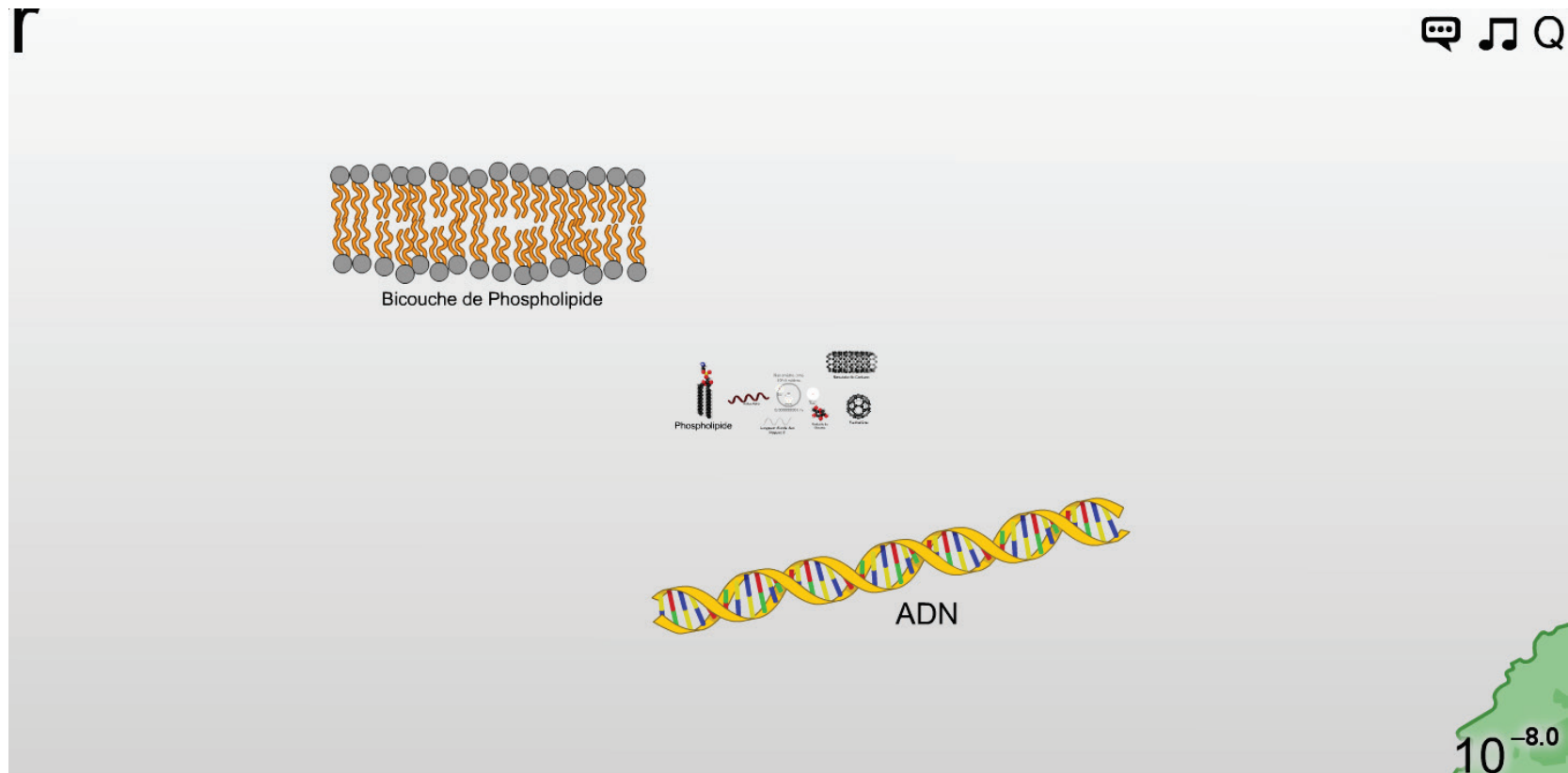
Cône de Poudre

DNA

$10^{-7.0}$

Voyage vers l'infiniment petit

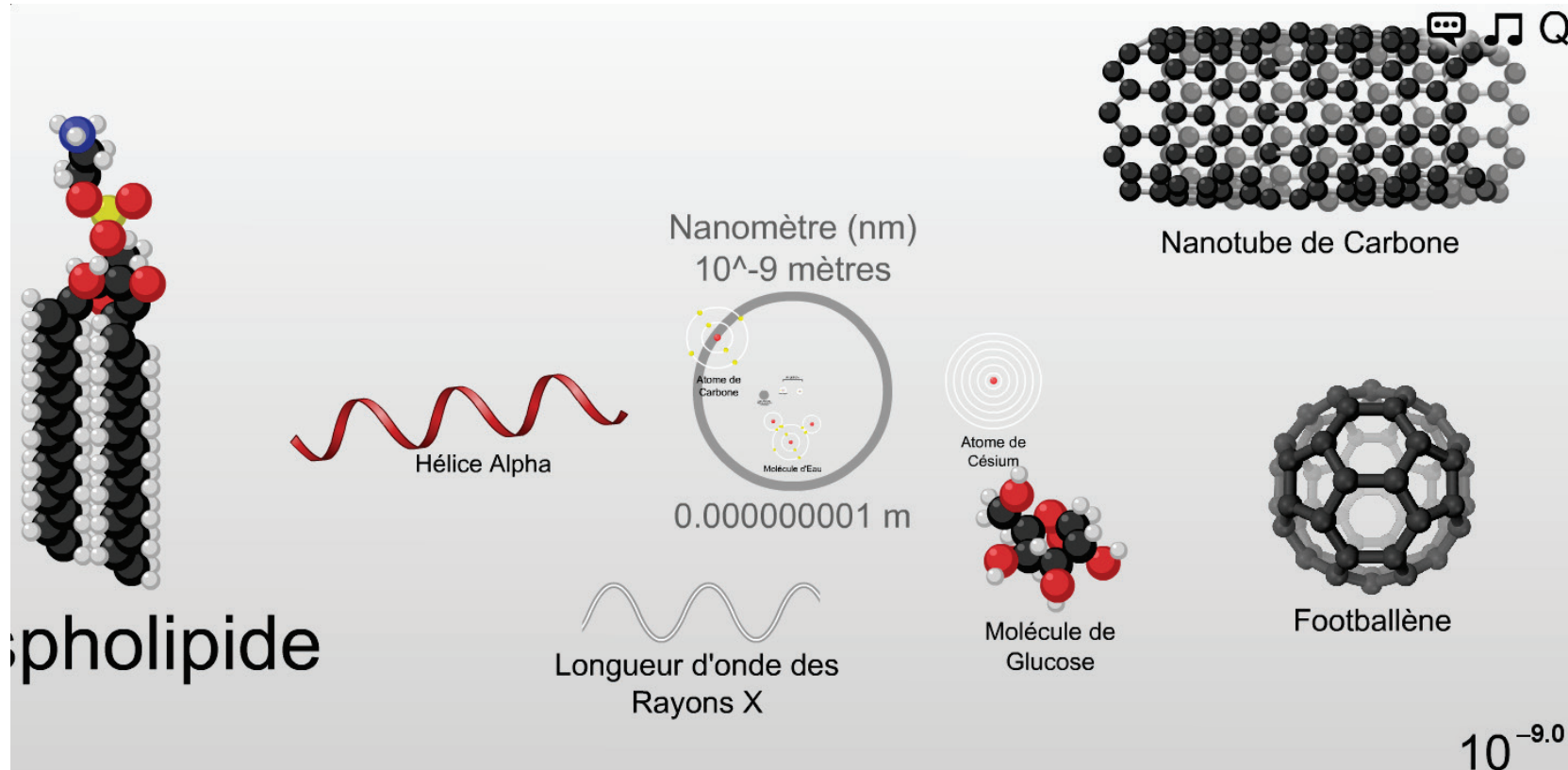
$$1/100 \mu\text{m} = 10^{-8} \text{ m} = 0.00000001 \text{ m}$$



© 2012 Cary and Michael Huang (<http://htwins.net>)

Voyage vers l'infiniment petit

$$1 \text{ nm} = 10^{-9} \text{ m} = 0.000000001 \text{ m}$$



Voyage vers l'infiniment petit

$$1 \text{ \AA} = 10^{-10} \text{ m} = 0.0000000001 \text{ m}$$

Angström

The diagram illustrates the structure of two atoms within a light gray rectangular frame. On the left, a large gray circle represents a microscopic object. Inside the frame, a white circle represents the nucleus of a hydrogen atom, containing a single red sphere (proton). A yellow sphere (electron) orbits the nucleus. Below this, the text "Atome d'Hydrogène" is written. To the right, another white circle represents the nucleus of a helium atom, containing two red spheres (protons). Two yellow spheres (electrons) orbit the nucleus. Below this, the text "Atome d'Hélium" is written. In the top right corner of the frame, there are three small icons: a speech bubble, a musical note, and a question mark.

Petite Chose
au Microscope
électronique

$10^{-10.4}$

Voyage vers l'infiniment petit

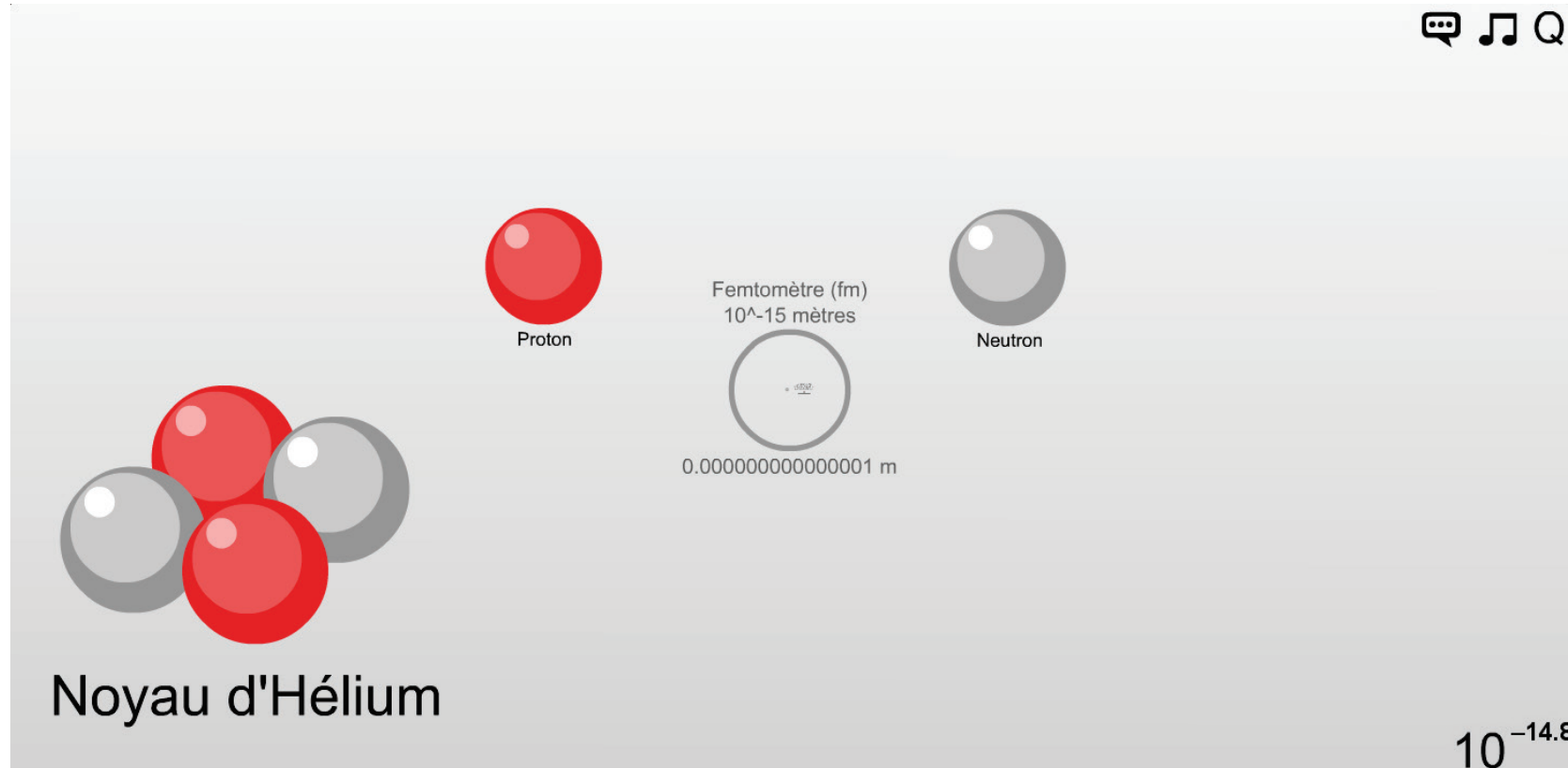
$$1/100 \text{ pm} = 10^{-14} \text{ m} = 0.00000000000001 \text{ m}$$



© 2012 Cary and Michael Huang (<http://htwins.net>)

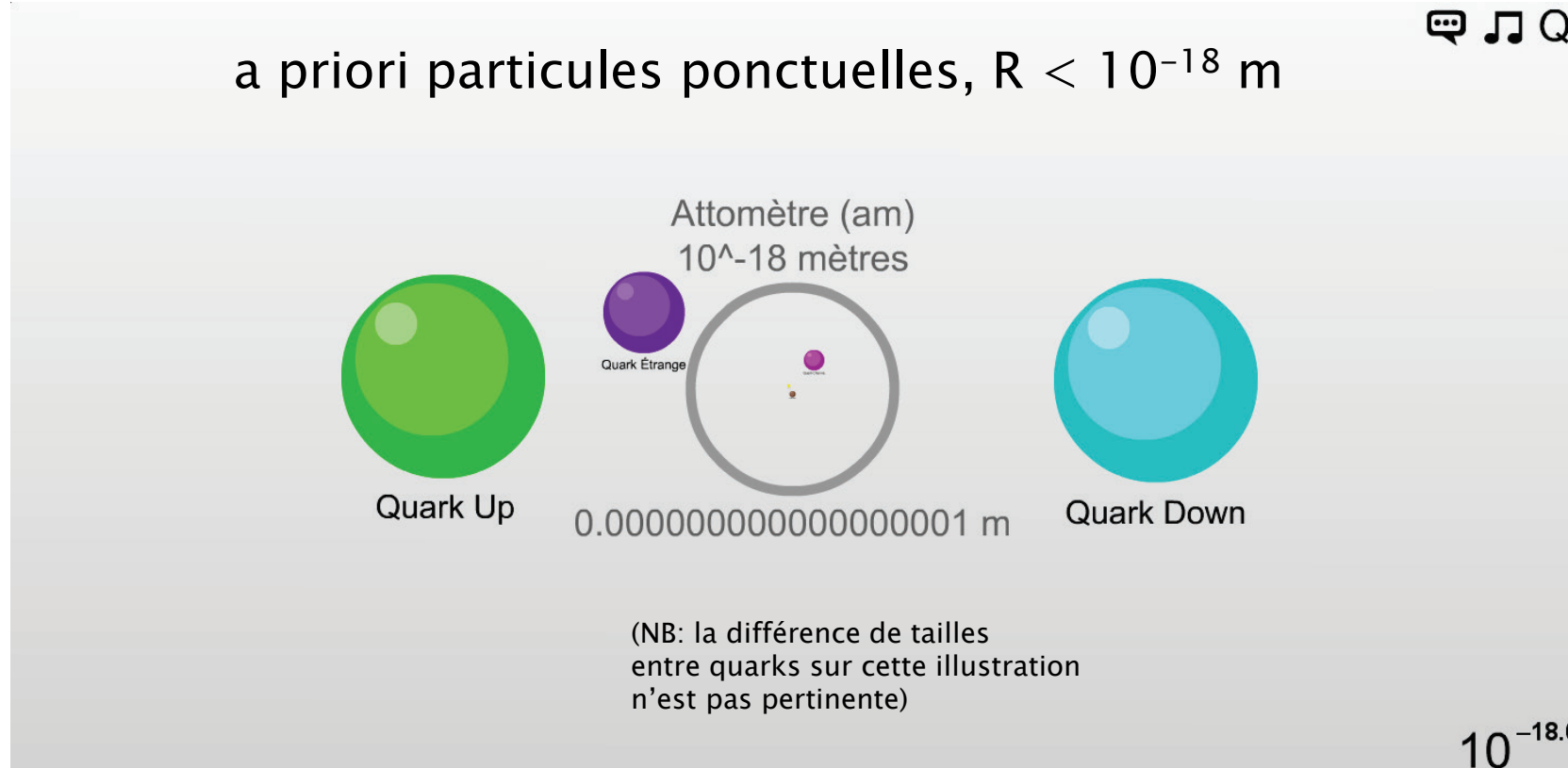
Voyage vers l'infiniment petit

$1 \text{ fm} = 10^{-15} \text{ m} = 0.000000000000001 \text{ m}$

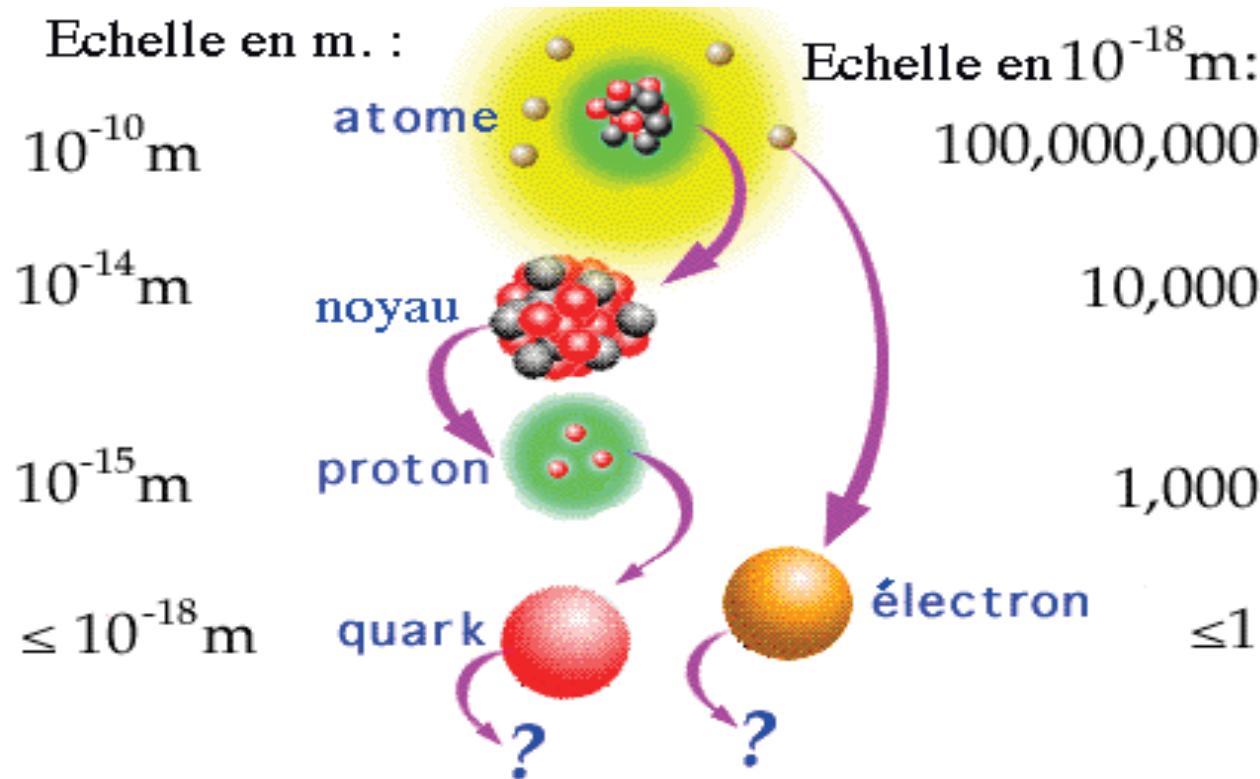


Voyage vers l'infiniment petit

1 am = 10^{-18} m = 0.0000000000000001 m



Les échelles de distance



Si le proton avait un diamètre de 10cm, un quark mesurerait moins de 0.1mm et un atome environ 10km !!
Un atome contient essentiellement du vide.

La physique des particules élémentaires

- **Physique des particules**: étude des constituants ultimes de la matière. Nom moderne d'un effort entrepris depuis des siècles et visant à comprendre les lois de la nature.
- **Objectif**: décrire les propriétés du tout à partir de ses parties
 - Les particules de matière (les « briques » formant toute la matière)
 - Les interactions de ces briques
- **Démarche**: réduire le nombre d'éléments, recherche des similitudes/symétries, unification de phénomènes apparemment différents
- Le tout dans un cadre mathématique extrêmement rigoureux et prédictif

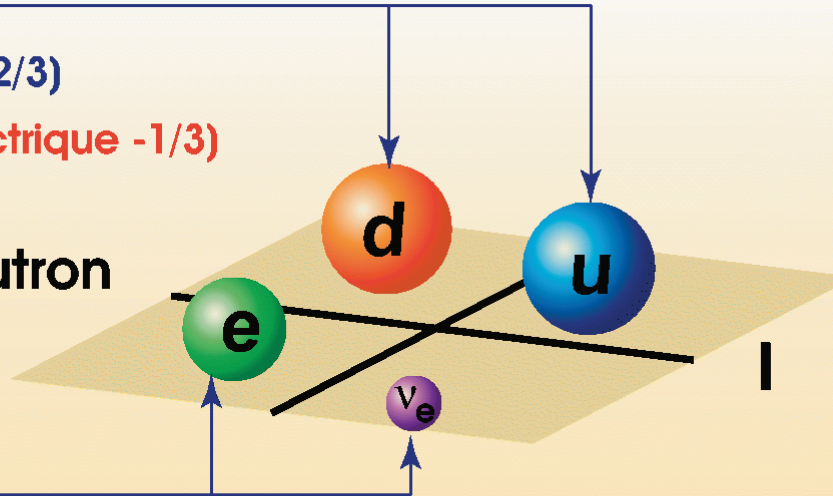
La matière ordinaire: 3 briques

Quarks:

Up (charge électrique 2/3)

et Down (charge électrique -1/3)

Ils composent
le proton et le neutron

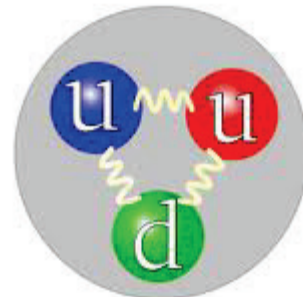


Leptons :

l'électron et son
neutrino associé

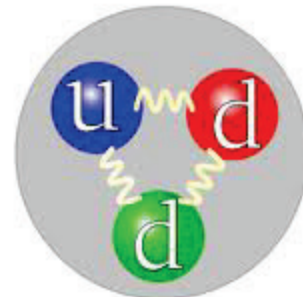
Matière ordinaire,
dont nous sommes constitués

proton



$$q_p = 2/3 + 2/3 - 1/3 = +1$$

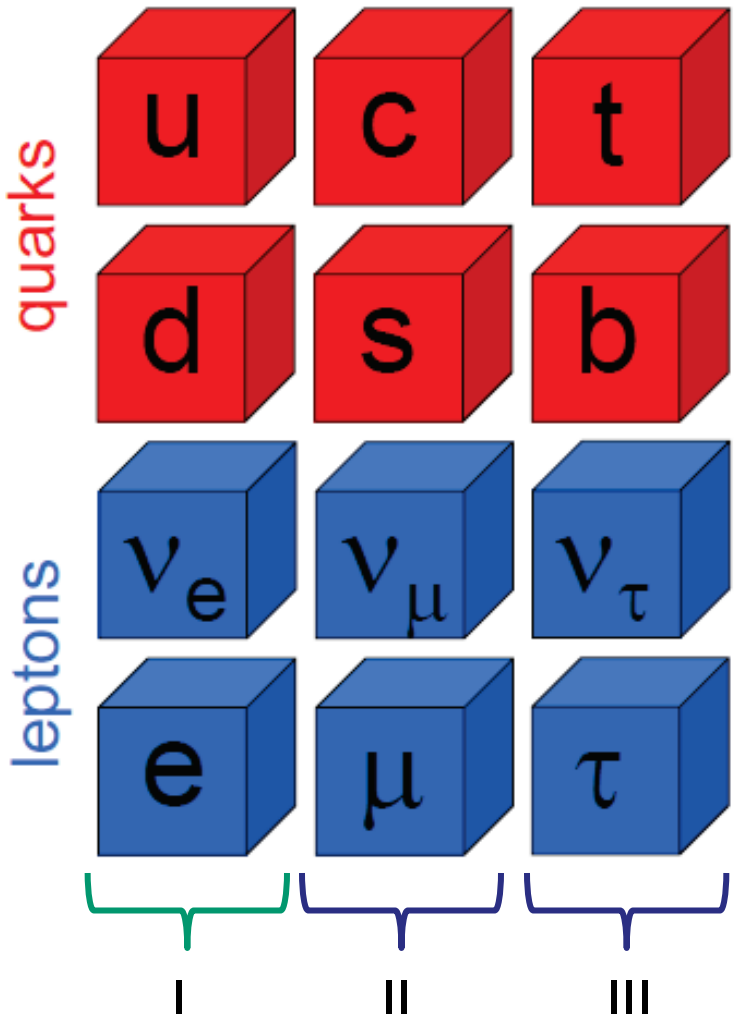
neutron



$$q_n = -1/3 - 1/3 + 2/3 = 0$$

Le Modèle Standard: particules de matière

Trois familles ou générations:



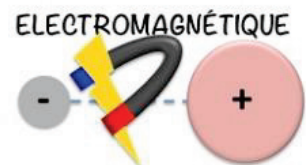
- matière ordinaire: u, d, e, ν_e
- deux répliques plus massives mais instables:
 - $m(\tau) \simeq 200 \times m(\mu) \simeq 3500 \times m(e)$
 - $m(t) \simeq 100 \times m(c) \simeq 90000 \times m(u)$
- NB: ces particules ont disparu une fraction de seconde après le Big-Bang, elles sont recréées dans des accélérateurs naturels (rayons cosmiques) ou artificiels.
- certains fermions prédis par raison de symétrie(s), découverts ensuite: c, b, t, ν_τ . Inversement, les découvertes expérimentales ont aussi structuré le modèle.
- dernier quark (top) découvert en 1994
- dernier lepton (ν_τ) observé directement en 2001

+ leurs anti-particules (anti-matière)

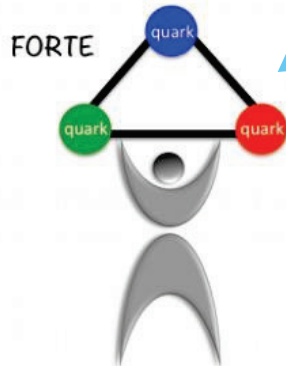
Les forces et leurs médiateurs

Lumière, électricité, magnétisme
Chimie, biologie

le photon γ
masse nulle
portée infinie
intensité $\equiv 1$



8 gluons
masse nulle
portée: 10^{-15} m
intensité 10^6



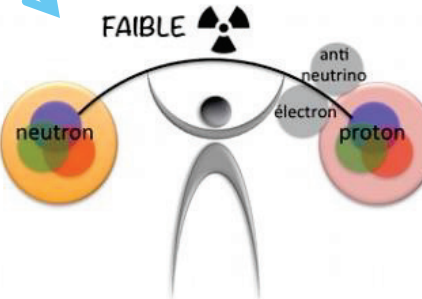
Cohésion des noyaux atomiques,
stabilité du proton, radioactivité α

NB: énergie gluons, quarks
→ 95% de la masse du proton !!

Pesanteur, mouvement des astres,
marées, ...

graviton ?

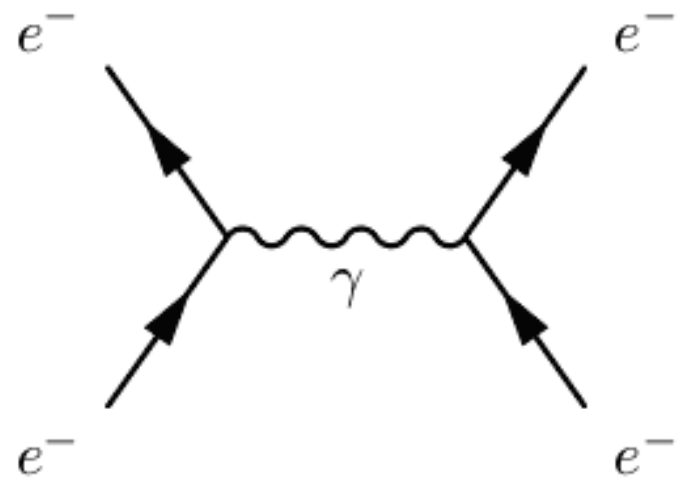
portée infinie
intensité 10^{-30}



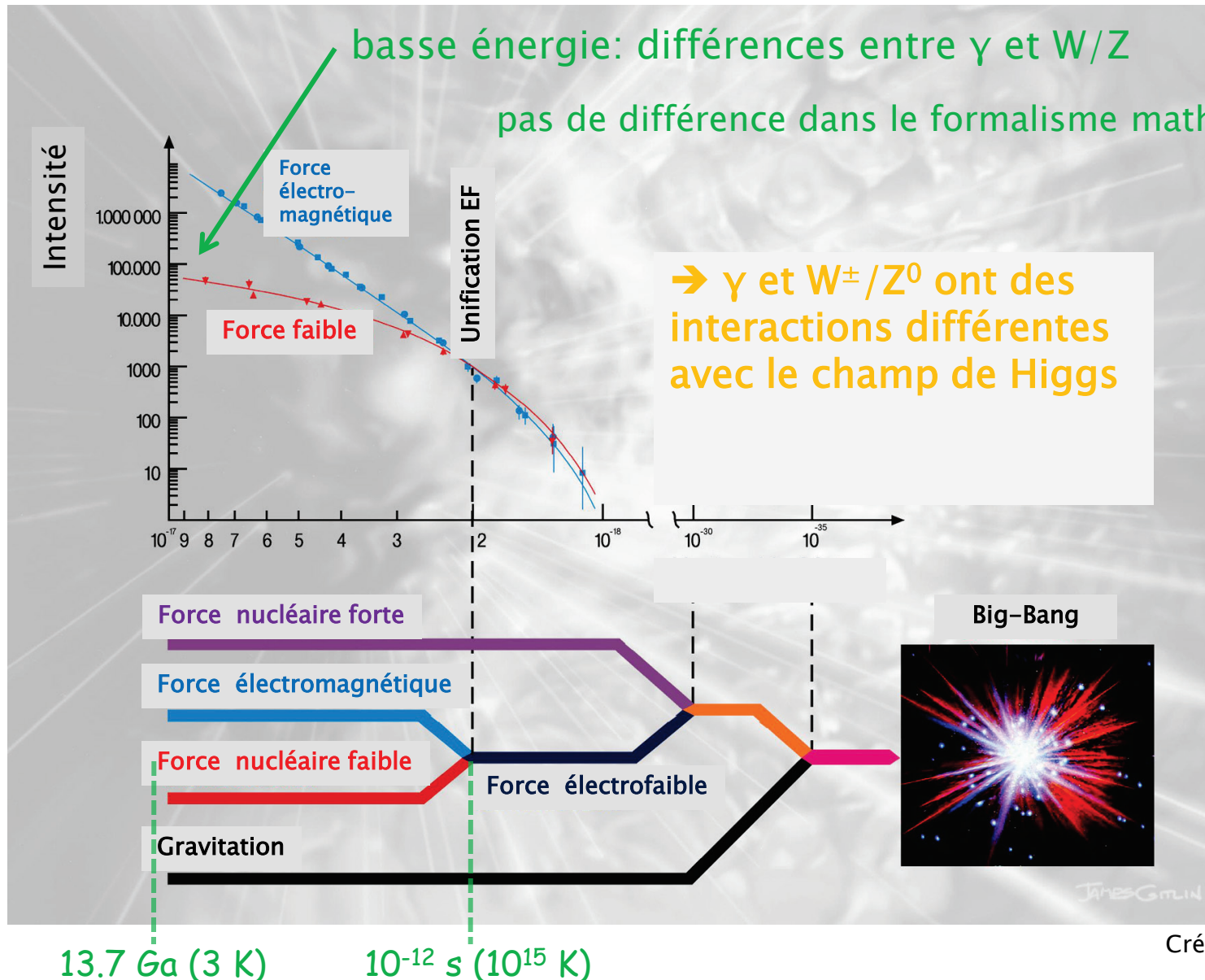
bosons W^\pm, Z^0
~100x masse proton
portée: 10^{-18} m
intensité 10^2

Radioactivité β , réactions nucléaires
dans les étoiles

Interactions entre particules

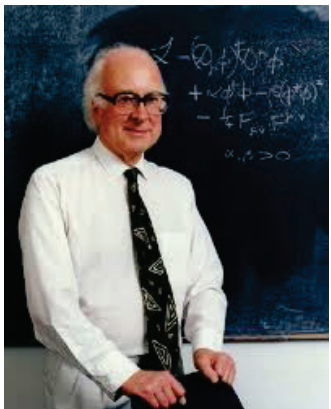
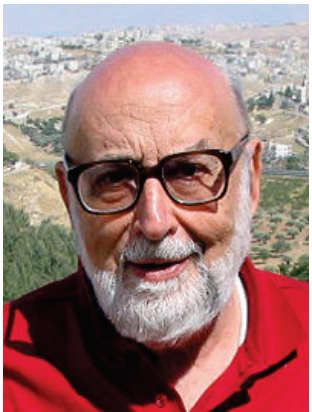


Unification électrofaible:



Le mécanisme de Higgs: 1964

ou comment donner une masse aux bosons W et Z (puis aux autres particules élémentaires)



BROKEN SYMMETRY AND THE MASS OF GAUGE VECTOR MESONS*

F. Englert and R. Brout

Faculté des Sciences, Université Libre de Bruxelles, Bruxelles, Belgium
(Received 26 June 1964)

It is of interest to inquire whether gauge vector mesons acquire mass through interaction¹; by a gauge vector meson we mean a Yang-Mills field² associated with the extension of a Lie group from global to local symmetry. The importance of this problem resides in the possibility that strong-interaction physics originates from massive gauge fields related to a system of conserved currents.³ In this note, we shall show that in certain cases vector mesons do indeed acquire mass when the vacuum is degenerate with respect to a compact Lie group.

Theories with degenerate vacuum (broken symmetry) have been the subject of intensive study since their inception by Nambu.⁴⁻⁶ A

those vector mesons which are coupled to currents that "rotate" the original vacuum are the ones which acquire mass [see Eq. (6)].

We shall then examine a particular model based on chirality invariance which may have a more fundamental significance. Here we begin with a chirality-invariant Lagrangian and introduce both vector and pseudovector gauge fields, thereby guaranteeing invariance under both local phase and local γ_5 -phase transformations. In this model the gauge fields themselves may break the γ_5 invariance leading to a mass for the original Fermi field. We shall show in this case that the pseudovector field acquires mass.

In the last paragraph we sketch a simple argument which renders these results reason-

VOLUME 13, NUMBER 16

PHYSICAL REVIEW LETTERS

19 OCTOBER 1964

BROKEN SYMMETRIES AND THE MASSES OF GAUGE BOSONS

Peter W. Higgs

Tait Institute of Mathematical Physics, University of Edinburgh, Edinburgh, Scotland
(Received 31 August 1964)

In a recent note¹ it was shown that the Goldstone theorem,² that Lorentz-covariant field theories in which spontaneous breakdown of symmetry under an internal Lie group occurs contain zero-mass particles, fails if and only if the conserved currents associated with the internal group are coupled to gauge fields. The purpose of the present note is to report that, as a consequence of this coupling, the spin-one quanta of some of the gauge fields acquire mass; the longitudinal degrees of freedom of these particles (which would be absent if their mass were zero) go over into the Goldstone bosons when the coupling tends to zero. This phenomenon is just the relativistic analog of the plasmon phenome-

about the "vacuum" solution $\varphi_1(x) = 0$, $\varphi_2(x) = \varphi_0$:

$$\partial^\mu \{\partial_\mu (\Delta\varphi_1) - e\varphi_0 A_\mu^A\} = 0, \quad (2a)$$

$$\{\partial^2 - 4\varphi_0^2 V'(\varphi_0^2)\}(\Delta\varphi_2) = 0, \quad (2b)$$

$$\partial_\nu F^{\mu\nu} = e\varphi_0 \{\partial^\mu (\Delta\varphi_1) - e\varphi_0 A_\mu^A\}. \quad (2c)$$

Equation (2b) describes waves whose quanta have (bare) mass $2\varphi_0 \{V'(\varphi_0^2)\}^{1/2}$; Eqs. (2a) and (2c) may be transformed, by the introduction of new variables

$$B_\mu = A_\mu - (e\varphi_0)^{-1} \partial_\mu (\Delta\varphi_1),$$

mais aussi travaux de: G. Guralnik, C. Hagen, T. Kibble

Conséquences: existence d'un champ de Higgs, et d'un boson scalaire

Le mécanisme de Higgs: analogie

R. Feynman: "I really can't explain [magnetic force] in terms of something you're more familiar with"

Le défi lancé par Sir W. Waldegrave en 1993:
"Expliquez-moi en une page ce qu'est le
boson de Higgs et pourquoi il faut le trouver"

- ➔ un des gagnants: D. Miller (UCL)
- ➔ P. Higgs: "The analogy I object least to"

Le mécanisme de Higgs: analogie

R. Feynman: "I really can't explain [magnetic force] in terms of something you're more familiar with"

Le défi lancé par Sir W. Waldegrave en 1993:
"Expliquez-moi en une page ce qu'est le
boson de Higgs et pourquoi il faut le trouver"

- ➔ un des gagnants: D. Miller (UCL)
- ➔ P. Higgs: "The analogy I object least to"



politiciens / le champ de Higgs

Le mécanisme de Higgs: analogie

R. Feynman: "I really can't explain [magnetic force] in terms of something you're more familiar with"

Le défi lancé par Sir W. Waldegrave en 1993:
"Expliquez-moi en une page ce qu'est le
boson de Higgs et pourquoi il faut le trouver"

- un des gagnants: D. Miller (UCL)
- P. Higgs: "The analogy I object least to"



politiciens / le champ de Higgs



une célébrité/particule a du mal
à se frayer un chemin

Le mécanisme de Higgs: analogie

R. Feynman: "I really can't explain [magnetic force] in terms of something you're more familiar with"

Le défi lancé par Sir W. Waldegrave en 1993:
"Expliquez-moi en une page ce qu'est le
boson de Higgs et pourquoi il faut le trouver"

- un des gagnants: D. Miller (UCL)
- P. Higgs: "The analogy I object least to"



politiciens / le champ de Higgs



une célébrité/particule a du mal
à se frayer un chemin



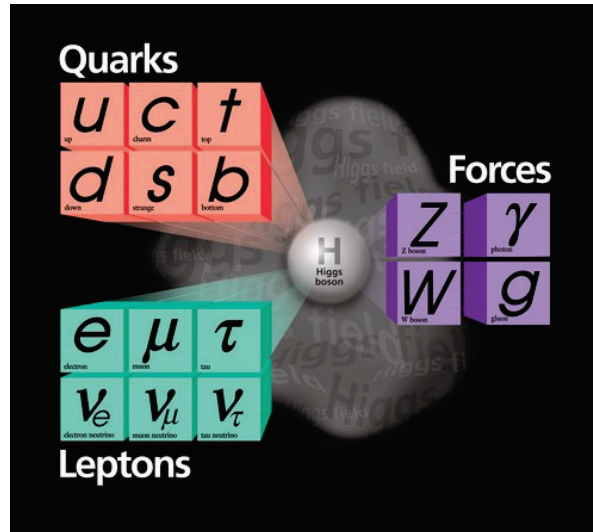
une rumeur est lancée / excitation
du champ de Higgs



→ perturbation temporaire /
particule de Higgs

Résumé: le Modèle Standard en 2011

$$\begin{aligned}
& -\frac{1}{2} \bar{\Omega}_\mu g_\mu^\alpha \partial_\nu g_\mu^\alpha - g_s f^{abc} \partial_\mu g_\mu^a g_\mu^b g_\mu^c - \frac{1}{4} g_s^2 f^{abc} f^{ade} g_\mu^b g_\mu^c g_\mu^d g_\mu^e + \\
& \frac{1}{2} ig_s^2 (\bar{q}_\mu^\alpha \gamma^\mu q_\mu^\alpha) g_\mu^a + \bar{G}^a \partial^2 G^a + g_s f^{abc} \partial_\mu \bar{G}^a G^b g_\mu^c - \partial_\nu W_\mu^+ \partial_\nu W_\mu^- - \\
& M^2 W_\mu^+ W_\mu^- - \frac{1}{2} \bar{\Omega}_\mu Z_\mu^0 \partial_\nu Z_\mu^0 - \frac{1}{2 c_w^2} M^2 Z_\mu^0 Z_\mu^0 - \frac{1}{2} \partial_\mu A_\mu \partial_\mu A_\mu - \frac{1}{2} \partial_\mu H \partial_\mu H - \\
& \frac{1}{2} m_h^2 H^2 - \partial_\mu \phi^+ \partial_\mu \phi^- - M^2 \phi^+ \phi^- - \frac{1}{2} \partial_\mu \phi^0 \partial_\mu \phi^0 - \frac{1}{2 c_w^2} M \phi^0 \phi^0 - \beta_h [\frac{2M^2}{g^2} + \\
& \frac{2M}{g} H + \frac{1}{2} (H^2 + \phi^0 \phi^0 + 2\phi^+ \phi^-)] + \frac{2M^4}{g^2} \alpha_h - ig_{cw} [\partial_\nu Z_\mu^0 (W_\mu^+ W_\nu^- - \\
& W_\nu^+ W_\mu^-) - Z_\nu^0 (W_\mu^+ \partial_\nu W_\mu^- - W_\mu^- \partial_\nu W_\mu^+) + Z_\mu^0 (W_\nu^+ \partial_\nu W_\nu^- - \\
& W_\nu^- \partial_\nu W_\mu^+) - ig_{sw} [\partial_\nu A_\mu (W_\mu^+ W_\nu^- - W_\nu^+ W_\mu^-) - A_\nu (W_\mu^+ \partial_\nu W_\mu^- - \\
& W_\mu^- \partial_\nu W_\mu^+) + A_\mu (W_\nu^+ \partial_\nu W_\mu^- - W_\nu^- \partial_\nu W_\mu^+)] - \frac{1}{2} g^2 W_\mu^+ W_\mu^- W_\nu^+ W_\nu^- + \\
& \frac{1}{2} g^2 W_\mu^+ W_\nu^- W_\mu^- W_\nu^- + g^2 c_w^2 (Z_\mu^0 W_\mu^+ Z_\nu^0 W_\nu^- - Z_\mu^0 Z_\nu^0 W_\mu^+ W_\nu^-) + \\
& g^2 s_w^2 (A_\mu W_\mu^+ A_\nu W_\nu^- - A_\mu A_\nu W_\mu^+ W_\nu^-) + g^2 s_w c_w [A_\mu Z_\nu^0 (W_\mu^+ W_\nu^- - \\
& W_\nu^+ W_\mu^-) - 2 A_\mu Z_\mu^0 W_\nu^+ W_\nu^-] - g \alpha [H^3 + H \phi^0 \phi^0 + 2 H \phi^+ \phi^-] - \\
& \frac{1}{8} g^2 \alpha_h [H^4 + (\phi^0)^4 + 4(\phi^+ \phi^-)^2 + 4(\phi^0)^2 \phi^+ \phi^- + 4H^2 \phi^+ \phi^- + 2(\phi^0)^2 H^2] - \\
& g M W_\mu^+ W_\mu^- H - \frac{1}{2} g \frac{M}{c_w^2} Z_\mu^0 Z_\mu^0 H - \frac{1}{2} i g [W_\mu^+ (\phi^0 \partial_\mu \phi^- - \phi^- \partial_\mu \phi^0) - \\
& W_\mu^- (\phi^0 \partial_\mu \phi^+ - \phi^+ \partial_\mu \phi^0)] + \frac{1}{2} g [W_\mu^+ (H \partial_\mu \phi^- - \phi^- \partial_\mu H) - W_\mu^- (H \partial_\mu \phi^+ - \\
& \phi^+ \partial_\mu H)] + \frac{1}{2} g \frac{1}{c_w} (Z_\mu^0 (H \partial_\mu \phi^0 - \phi^0 \partial_\mu H) - ig \frac{s_w^2}{c_w} M Z_\mu^0 (W_\mu^+ \phi^- - W_\mu^- \phi^+) + \\
& ig_{sw} M A_\mu (W_\mu^+ \phi^- - W_\mu^- \phi^+) - ig \frac{1-2c_w^2}{2c_w} Z_\mu^0 (\phi^+ \partial_\mu \phi^- - \phi^- \partial_\mu \phi^+) + \\
& ig_{sw} A_\mu (\phi^+ \partial_\mu \phi^- - \phi^- \partial_\mu \phi^+) - \frac{1}{4} g^2 W_\mu^+ W_\mu^- [H^2 + (\phi^0)^2 + 2\phi^+ \phi^-] - \\
& \frac{1}{4} g^2 \frac{1}{c_w^2} Z_\mu^0 Z_\mu^0 [H^2 + (\phi^0)^2 + 2(2s_w^2 - 1)^2 \phi^+ \phi^-] - \frac{1}{2} g^2 \frac{s_w^2}{c_w} Z_\mu^0 \phi^0 (W_\mu^+ \phi^- - \\
& W_\mu^- \phi^+) - \frac{1}{2} ig^2 \frac{s_w^2}{c_w} Z_\mu^0 H (W_\mu^+ \phi^- - W_\mu^- \phi^+) + \frac{1}{2} g^2 s_w A_\mu \phi^0 (W_\mu^+ \phi^- - \\
& W_\mu^- \phi^+) + \frac{1}{2} g^2 s_w A_\mu H (W_\mu^+ \phi^- - W_\mu^- \phi^+) - g^2 \frac{s_w}{c_w} (2c_w^2 - 1) Z_\mu^0 A_\mu \phi^+ \phi^- - \\
& g^1 s_w^2 A_\mu A_\mu \phi^+ \phi^- - \bar{e}^\lambda (\gamma \partial + m_e^\lambda) e^\lambda - \bar{\nu}^\lambda \gamma \partial \nu^\lambda - \bar{u}^\lambda (\gamma \partial + m_u^\lambda) u^\lambda - \\
& \bar{d}^\lambda_j (\gamma \partial + m_d^\lambda) d_j^\lambda + ig_{sw} A_\mu [(-\bar{e}^\lambda \gamma^\mu e^\lambda) + \frac{2}{3} (\bar{u}^\lambda \gamma^\mu u_j^\lambda) - \frac{1}{3} (\bar{d}^\lambda_j \gamma^\mu d_j^\lambda)] + \\
& \frac{ig}{4c_w} Z_\mu^0 [(\bar{\nu}^\lambda \gamma^\mu (1 + \gamma^5) \nu^\lambda) + (\bar{e}^\lambda \gamma^\mu (4s_w^2 - 1 - \gamma^5) e^\lambda) + (\bar{u}^\lambda_j \gamma^\mu (\frac{4}{3}s_w^2 - \\
& 1 - \gamma^5) u_j^\lambda) + (\bar{d}^\lambda_j \gamma^\mu (1 - \frac{8}{3}s_w^2 - \gamma^5) d_j^\lambda)] + \frac{ig}{2\sqrt{2}} W_\mu^+ [(\bar{\nu}^\lambda \gamma^\mu (1 + \gamma^5) \nu^\lambda) + \\
& (\bar{u}^\lambda_j \gamma^\mu (1 + \gamma^5) C_{\lambda\kappa} d_j^\kappa)] + \frac{ig}{2\sqrt{2}} W_\mu^- [(\bar{e}^\lambda \gamma^\mu (1 + \gamma^5) \nu^\lambda) + (\bar{d}^\lambda_j C_{\lambda\kappa}^\dagger \gamma^\mu (1 + \\
& \gamma^5) u_j^\lambda)] + \frac{ig}{2\sqrt{2}} \frac{m_\lambda^4}{M} [-\phi^+ (\bar{\nu}^\lambda (1 - \gamma^5) e^\lambda) + \phi^- (\bar{e}^\lambda (1 + \gamma^5) \nu^\lambda)] - \\
& \frac{g}{2} \frac{m_\lambda^4}{M} [H (\bar{e}^\lambda e^\lambda) + i \phi^0 (\bar{e}^\lambda \gamma^5 e^\lambda)] + \frac{ig}{2M\sqrt{2}} \phi^+ [-m_a^a (\bar{u}_j^\lambda C_{\lambda\kappa} (1 - \gamma^5) d_j^\kappa)] + \\
& m_a^\mu (\bar{u}_j^\lambda C_{\lambda\kappa} (1 + \gamma^5) d_j^\kappa)] + \frac{ig}{2M\sqrt{2}} \phi^- [m_a^\lambda (d_j^\lambda C_{\lambda\kappa}^\dagger (1 + \gamma^5) u_j^\kappa)] - m_u^\kappa (\bar{d}_j^\lambda C_{\lambda\kappa}^\dagger (1 - \\
& \gamma^5) u_j^\kappa) - \frac{g}{2} \frac{m_\lambda^4}{M} H (\bar{u}_j^\lambda u_j^\lambda) - \frac{g}{2} \frac{m_\lambda^4}{M} (H (\bar{d}_j^\lambda d_j^\lambda) + \frac{ig}{2} \frac{m_\lambda^4}{M} \phi^0 (\bar{u}_j^\lambda \gamma^5 u_j^\lambda) - \\
& \frac{ig}{2} \frac{m_\lambda^4}{M} \phi^0 (\bar{d}_j^\lambda \gamma^5 d_j^\lambda) + \bar{X}^+ (\partial^2 - M^2) X^+ + \bar{X}^- (\partial^2 - M^2) X^- + \bar{X}^0 (\partial^2 - \\
& \frac{M^2}{c_w^2}) X^0 + \bar{Y} \partial^2 Y + ig_{cw} W_\mu^+ (\partial_\mu \bar{X}^0 X^- - \partial_\mu \bar{X}^+ X^0) + ig_{sw} W_\mu^+ (\partial_\mu \bar{Y} X^- - \\
& \partial_\mu \bar{X}^+ Y) + ig_{cw} W_\mu^- (\partial_\mu \bar{X}^- X^0 - \partial_\mu \bar{X}^0 X^+) + ig_{sw} W_\mu^- (\partial_\mu \bar{Y} X^- - \\
& \partial_\mu \bar{Y} X^+) + ig_{cw} Z_\mu^0 (\partial_\mu \bar{X}^- X^+ - \partial_\mu \bar{X}^+ X^-) + ig_{sw} A_\mu (\partial_\mu \bar{X}^- X^+ - \\
& \partial_\mu \bar{X}^+ X^-) - \frac{1}{2} g M [\bar{X}^- X^+ H + \bar{X}^- X^- H + \frac{1}{c_w^2} \bar{X}^0 X^0 H] + \\
& \frac{1-2c_w^2}{2c_w^2} ig M [\bar{X}^- X^0 \phi^+ - \bar{X}^- X^0 \phi^-] + \frac{1}{2c_w^2} ig M [\bar{X}^0 X^- \phi^+ - \bar{X}^0 X^- \phi^-] + \\
& ig M s_w [\bar{X}^0 X^- \phi^+ - \bar{X}^0 X^- \phi^-] + \frac{i}{2} ig M [\bar{X}^- X^+ \phi^0 - \bar{X}^- X^- \phi^0]
\end{aligned}$$

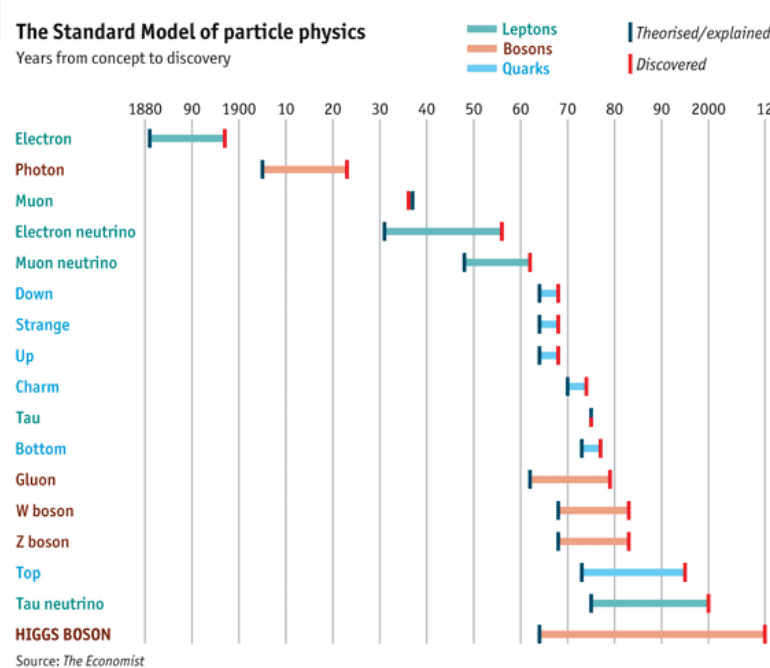


Fermions

Bosons

Higgs ?

Une longue quête ...



Quelques jalons:

- 1964: articles de R. Brout, F. Englert, P. Higgs
- 1967: théorie électrofaible (Glashow, Salam, Weinberg)
- 1973: courants neutres (CERN)
- 1983: observation des W^\pm et Z^0 (CERN)
- 1983: mise en service du Tevatron
- 1983: réflexions sur l'intérêt d'un "LHC" (C. Rubbia)
- 1983: réflexions pour un "SSC" (USA)
- 1989: mise en service du LEP (CERN)
- 1993: abandon du projet SSC
- 1994: lancement officiel du projet LHC
- 2000: arrêt du LEP, pas de signe de H^0
- 2011: arrêt du Tevatron, évidence $H \rightarrow b\bar{b}$
- 2012: découverte d'un boson (de Higgs?) au LHC

Les grandes phases du projet LHC:

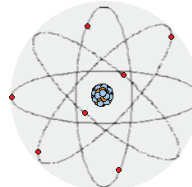
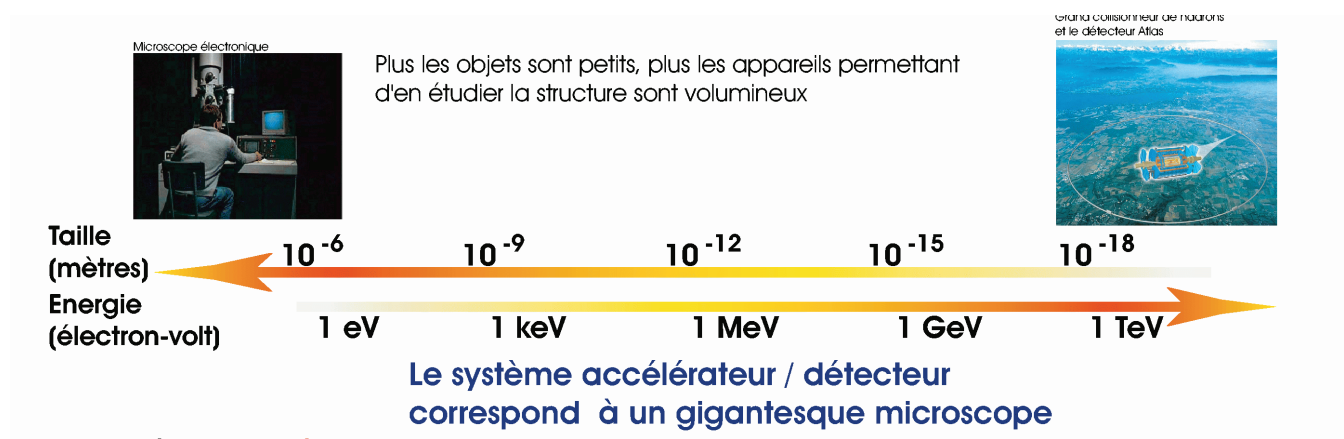
- 1984–1998: conception de l'accélérateur et des détecteurs
- 1992: création de la collaboration ATLAS (le CPPM en fait déjà partie)
- années 90: turbulences financières...
- 1998–2008: construction du LHC et des détecteurs
- 2008: mise en service, panne majeure
- 2009: redémarrage, phase à 7 TeV jusqu'à fin 2012
- ~2014: redémarrage à ~14 TeV, puis phase à haute-luminosité → 2030 ?

Pourquoi des accélérateurs de particules ?

On a besoin de sonder la matière avec des énergies toujours plus élevées pour:

1. étudier des objets plus petits

- Mécanique quantique: une particule d'énergie E est associée à une longueur d'onde $\lambda = h/E$
- Plus λ est petite, plus on peut voir des détails fins

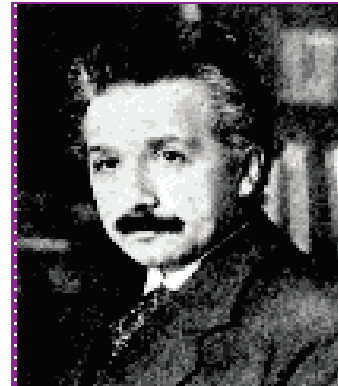


Les collisions de haute énergie

2. créer des particules de plus en plus lourdes:

→ la relativité restreinte exprime l'équivalence entre masse et énergie

$$E = mc^2$$



Dans un accélérateur:

- toute l'énergie cinétique E de la collision est transformée en masse
- $E = E(\text{faisceau protons}_1) + E(\text{faisceau protons}_2)$

Collision classique ou quantique



Collision classique ou quantique

Taille quantique d'un objet de masse m:

$$\lambda = \frac{h}{mc}$$

h = constante de Planck = $6.6 \cdot 10^{-34} \text{ m}^2 \cdot \text{kg/s}$

c = vitesse de la lumière dans le vide $\approx 3000000 \text{ km/s}$



$$\lambda \text{ (m)} \approx \frac{2.2 \cdot 10^{-42}}{m \text{ (kg)}}$$

Collision de fraises:



$$m \sim 20 \text{ g} \rightarrow \lambda \sim 10^{-40} \text{ m}$$

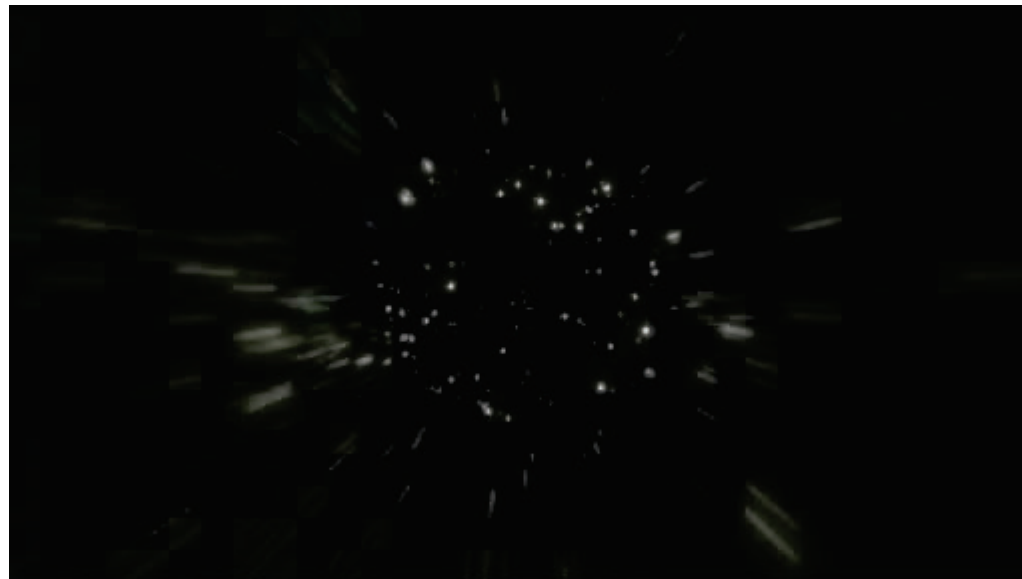
λ très petit devant R ($\sim 1\text{cm}$) \rightarrow classique

Collision de protons:

$$m \sim 1.6 \cdot 10^{-27} \text{ kg} \rightarrow \lambda \sim 10^{-15} \text{ m}$$

$\lambda \sim R \rightarrow$ quantique

Le Grand Collisionneur de Hadrons LHC



Laboratoire européen de physique des particules (CERN)

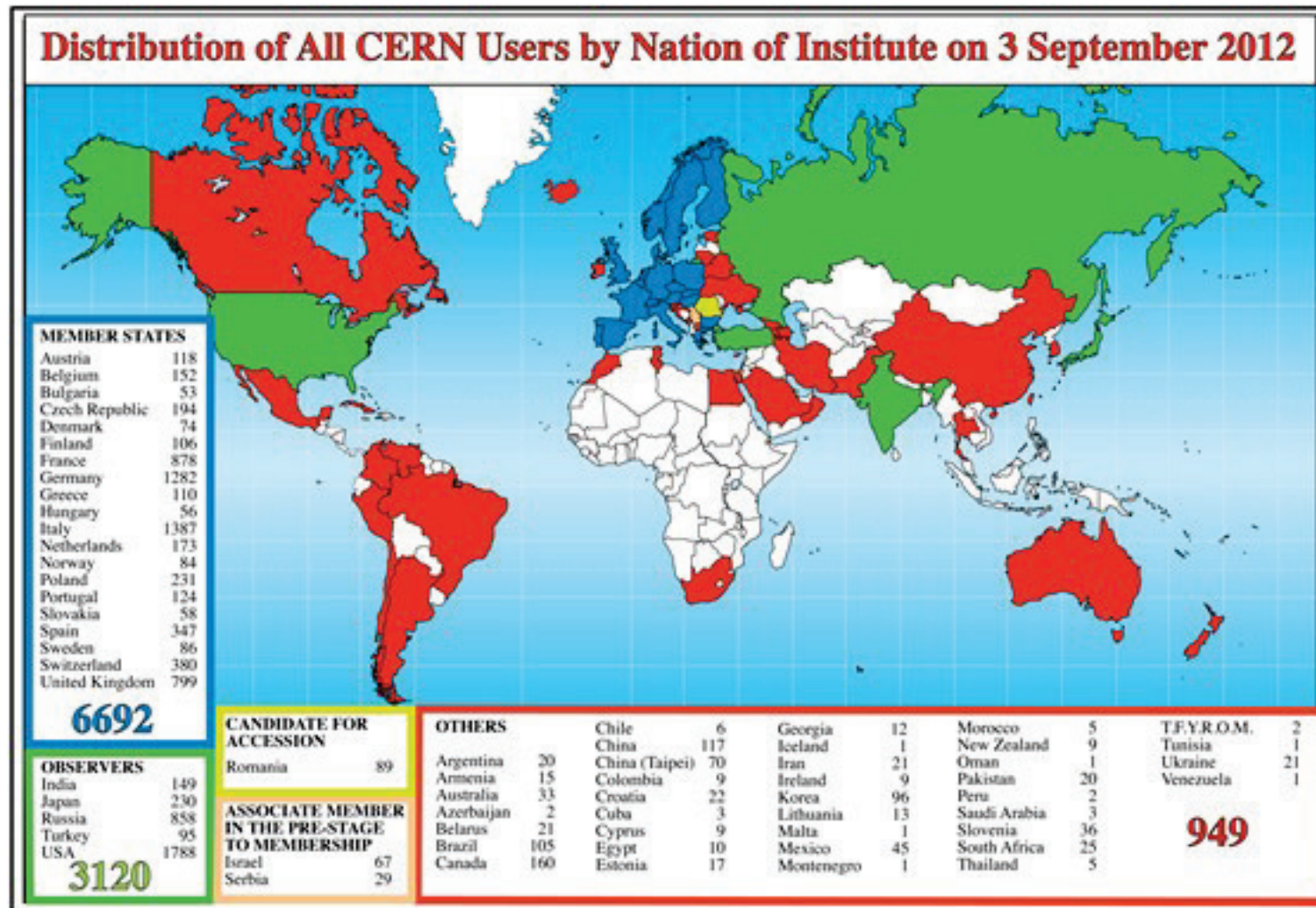


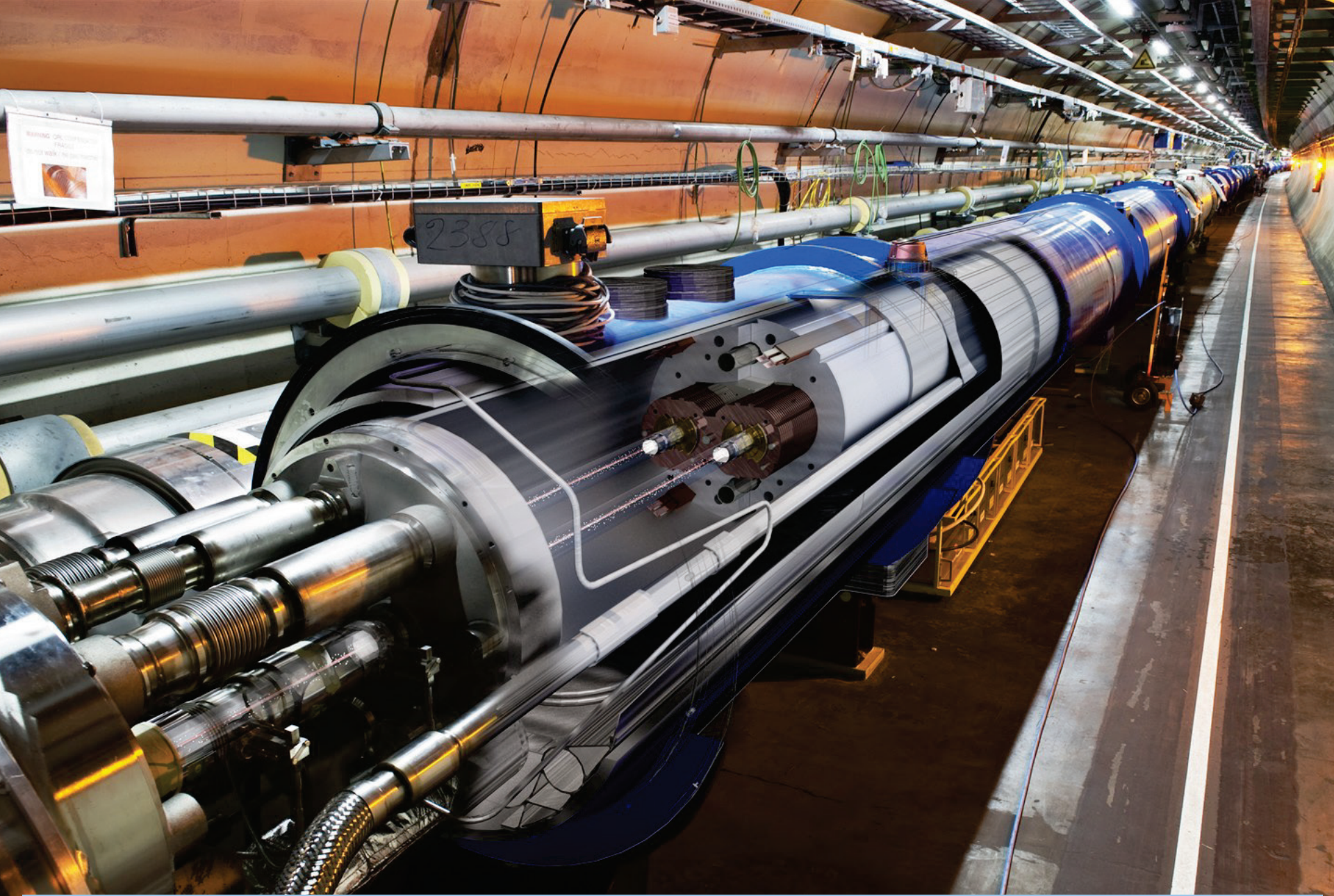
Le plus grand laboratoire de physique des particules du monde:
20 états-membres,
plusieurs états associés



Organisation internationale
Basée à Genève (Suisse), site en Suisse & France
Créé en 1953

Un laboratoire global





Le Grand Collisionneur de Hadrons: LHC

Le LHC en quelques faits

- La plus grande et la plus complexe machine scientifique jamais construite
- Un proton dans le LHC parcourt 11000 fois par seconde les 27km
- 9600 aimants dont 1232 dipolaires supraconducteurs de 8.3T pour courber la trajectoire des protons
- Le plus grand réfrigérateur du monde: 27 km à une température inférieure à celle de l'espace intersidéral. 100 t d'hélium superfluide à -271 C°
- Le vide presque parfait: pression 10x plus faible que sur la Lune
- Au niveau de la collision, des températures un milliard de fois plus élevées qu'au cœur du Soleil
- Puissance consommée par le LHC: ~120 MW

Energie des protons

Actuellement, l'énergie des protons dans chaque faisceau est de 3.5 TeV (~7 TeV en 2014), ce qui conduit à des collisions avec 7 TeV (14 TeV) d'énergie disponible.

eV: énergie qu'acquiert un électron accéléré par une d.d.p. de 1V
1 TeV = 10^{12} eV = 1.6×10^{-7} Joule

Energie d'un proton dans le faisceau: 3.5 TeV

- c'est l'énergie cinétique d'un moustique en vol !
- mais répartie sur un seul proton ...

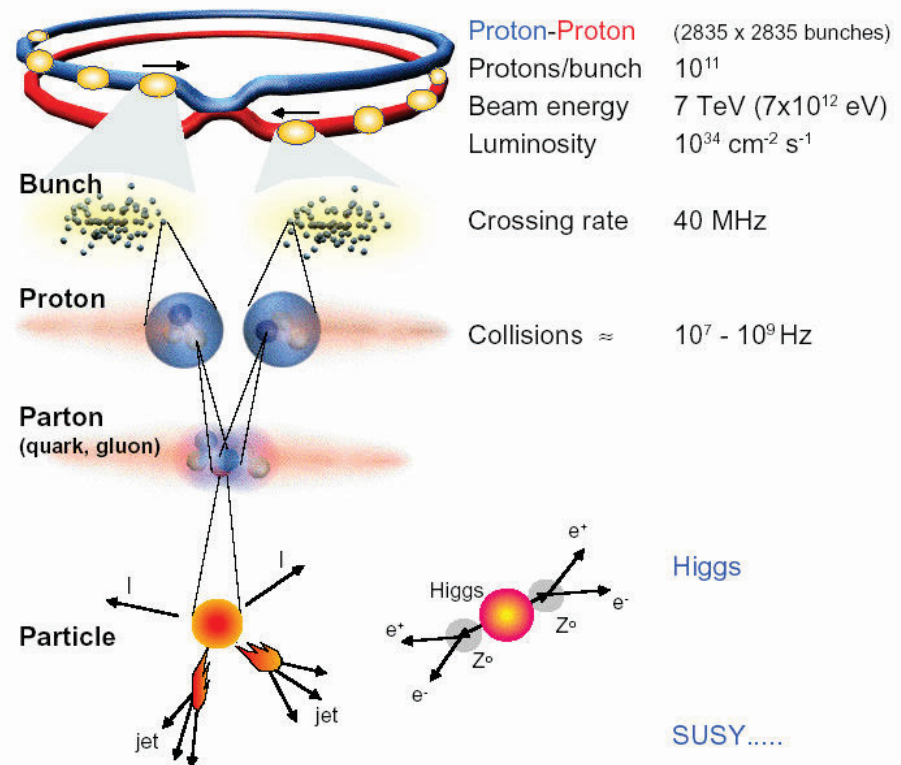
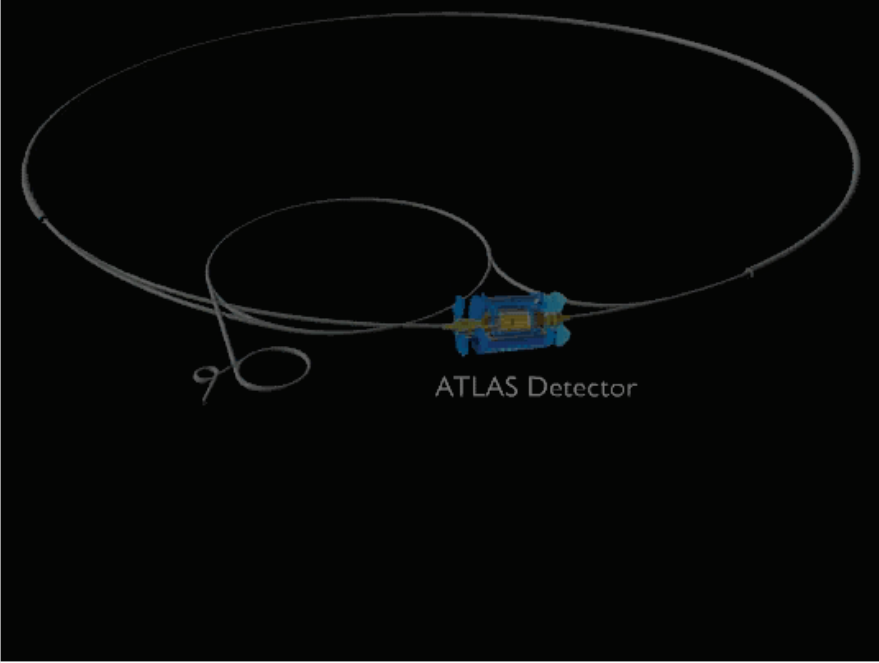
Energie totale d'un faisceau: $3.5 \text{ TeV} \times N_p = 350 \text{ MJ}$

- c'est l'énergie d'un TGV lancé à 150 km/h
- suffirait à faire fondre 500kg de cuivre

Collisions au LHC

PLAY▶

Large Hadron Collider



Selection of 1 in 10,000,000,000,000

Le boson de Higgs n'est produit que très rarement !!
→ très grand taux de collisions requis

Comment observe-t-on de nouvelles particules ?

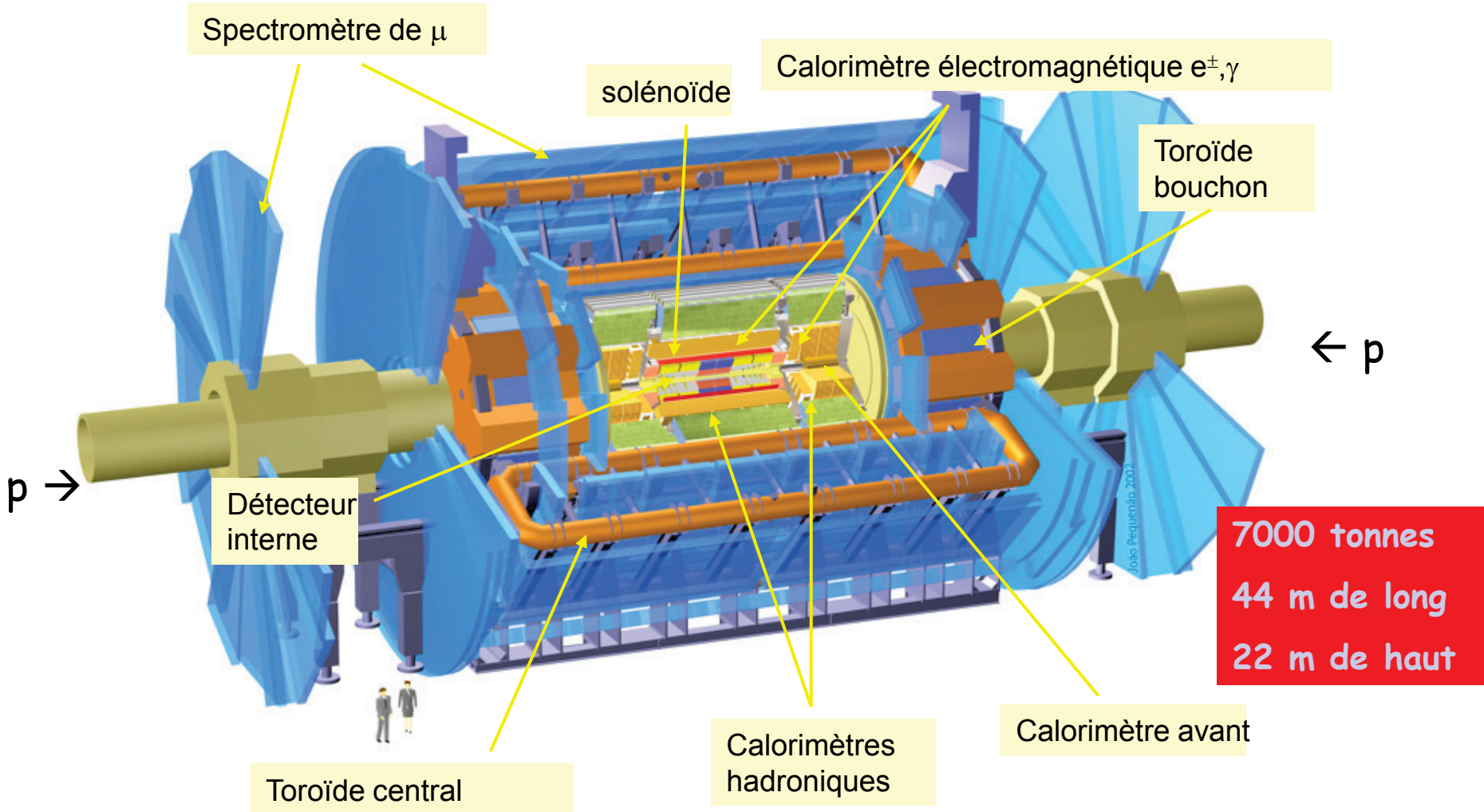
- Les particules produites dans les accélérateurs vivent en général très peu de temps: elles se désintègrent presque immédiatement en particules de matière ordinaire (~ stables).
- Ainsi, on ne verra donc pas directement le boson de Higgs
- Par contre en mesurant très précisément ses produits de désintégration on peut vérifier qu'ils viennent de la désintégration d'un boson de Higgs.



Au cœur d'ATLAS, le détecteur géant



ATLAS, un détecteur géant



Une collaboration mondiale



38 pays: Europe, Amérique du Nord, Russie, Chine, Japon,...
174 universités et laboratoires
Environ 3000 physiciens (dont 1000 étudiants) !

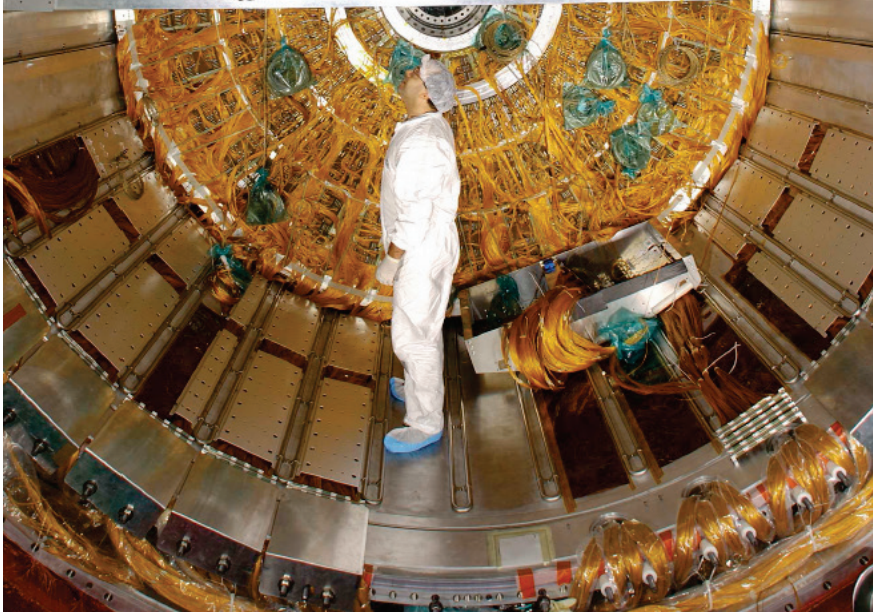
Contribution française: 6 laboratoires CNRS/IN2P3/Universités,
et 1 laboratoire CEA , environ 400 personnes (physiciens, ingénieurs, étudiants)

ATLAS: contributions du CPPM à la conception & construction

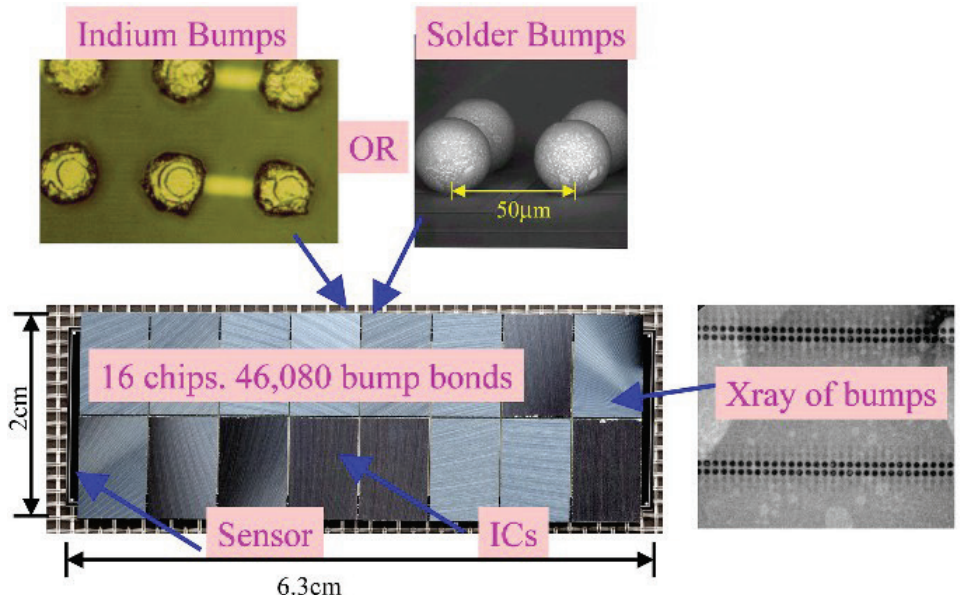
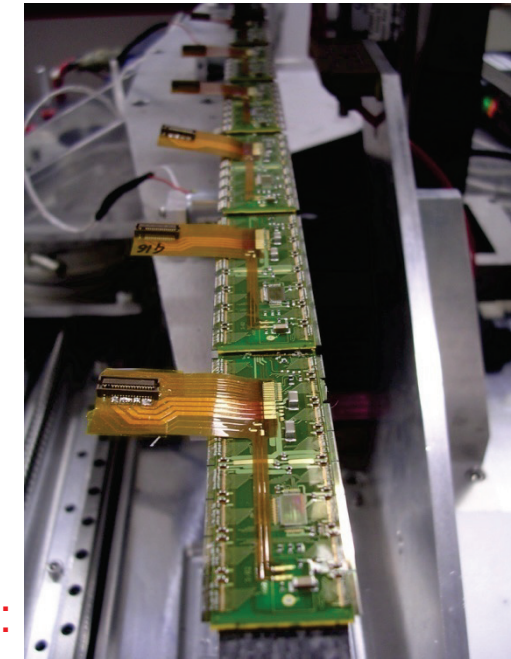


Calorimètre à argon liquide

Système de déclenchement
(non-illustré)



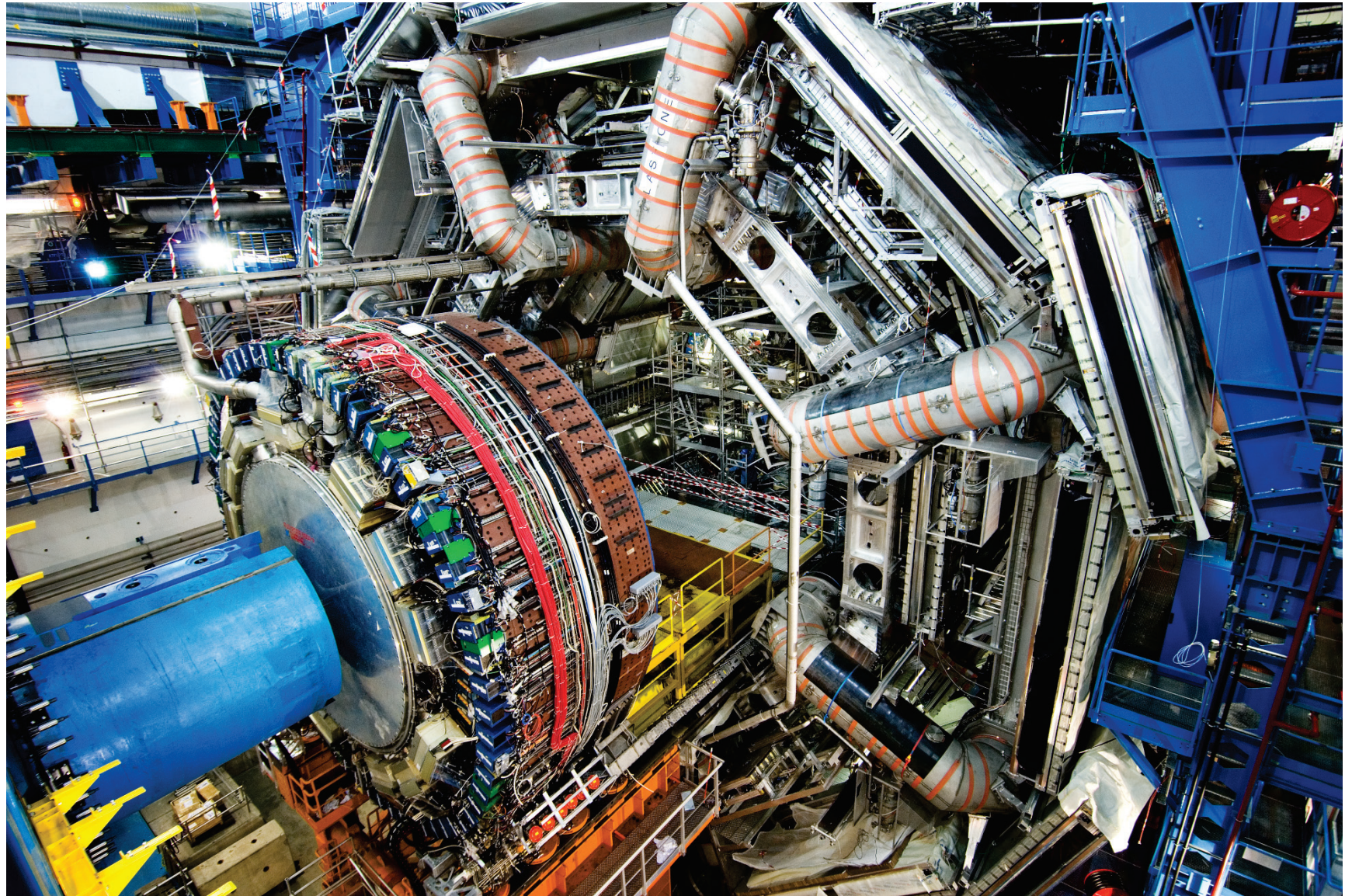
Détecteurs à pixels:



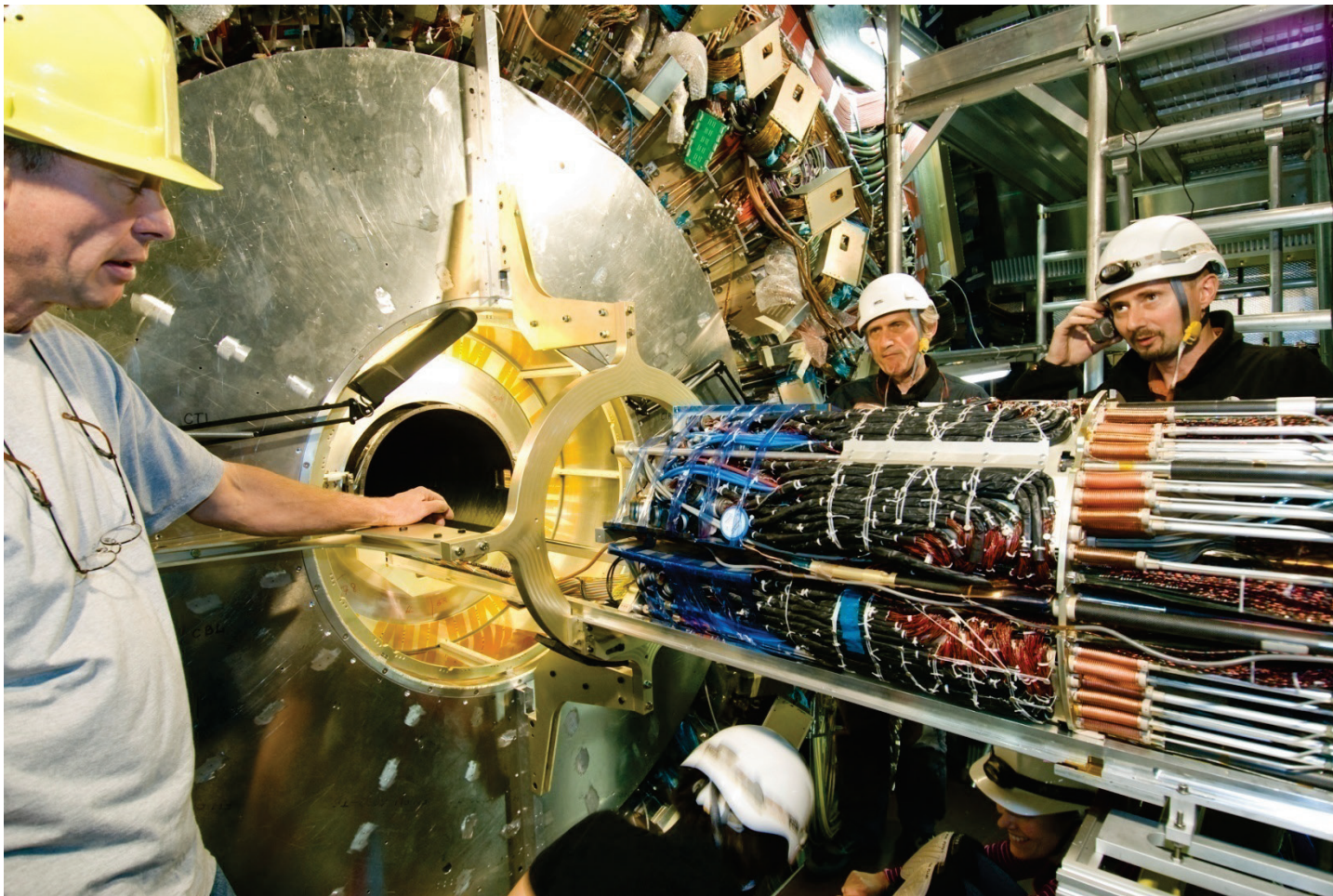
Cryostat et détecteur à muons



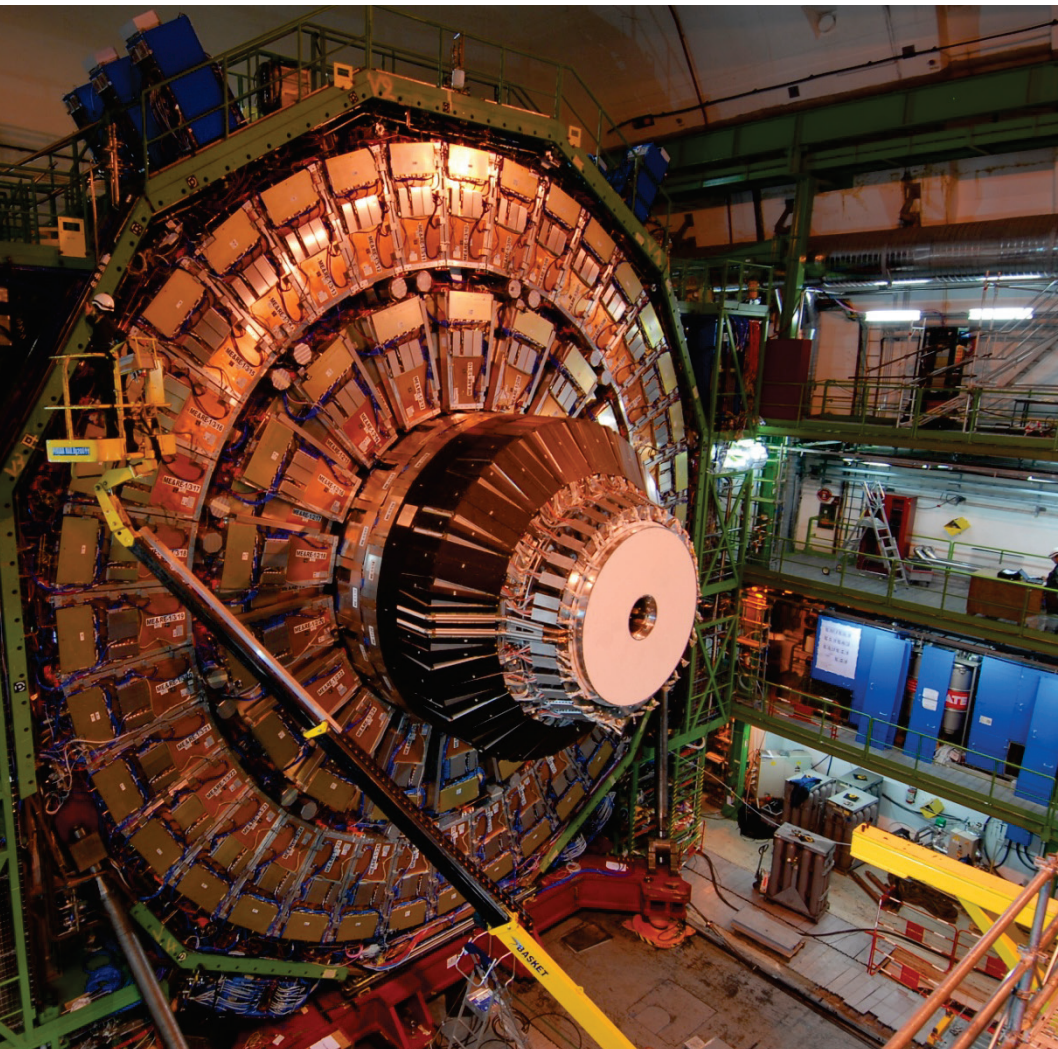
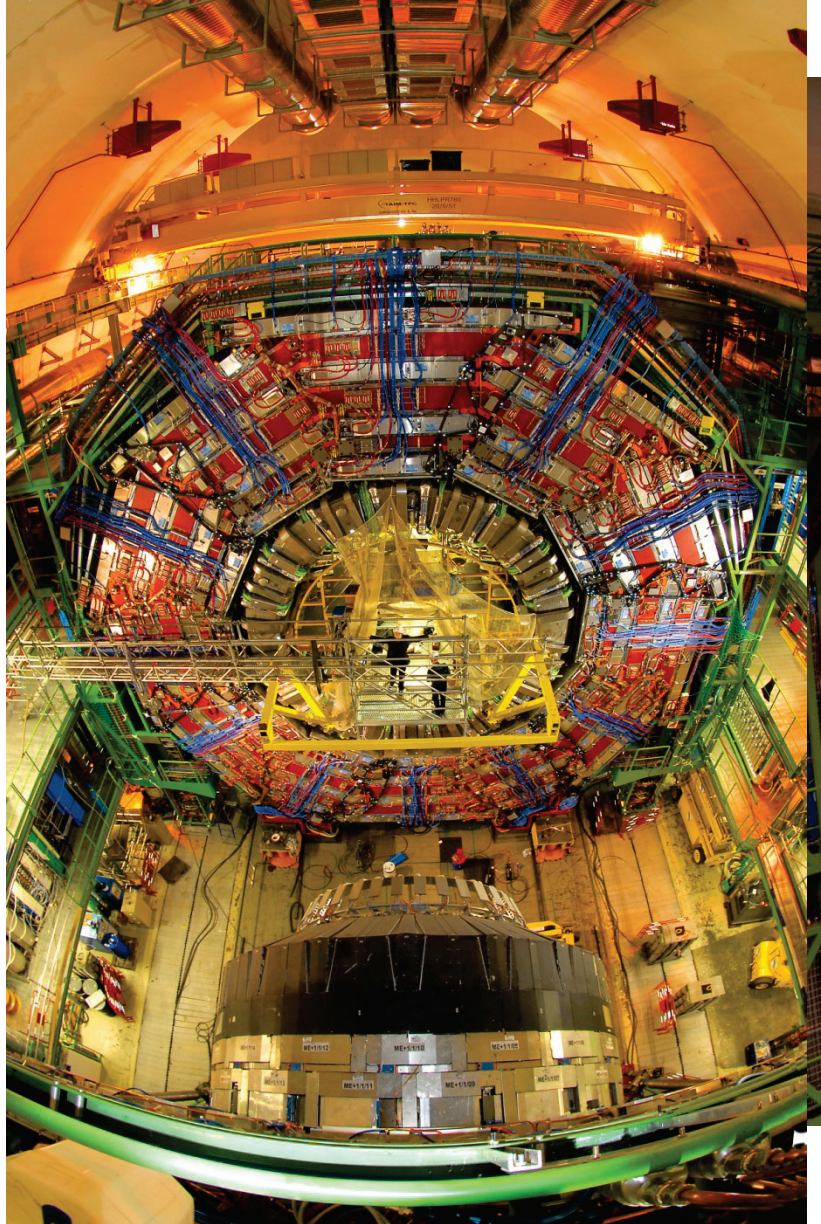
Extremité ouverte d'ATLAS



Insertion des pixels



De l'autre côté de l'anneau...: CMS



20 novembre 2009: derniers préparatifs pour le redémarrage du LHC...

Salle de contrôle du LHC



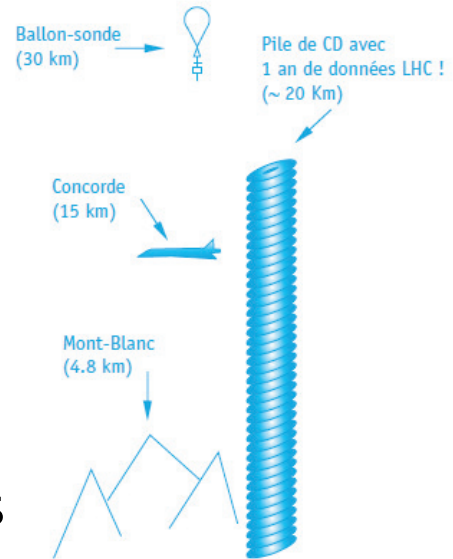
Salle de contrôle d'ATLAS:
Fabiola Gianotti, porte-parole de l'expérience ATLAS

20 novembre 2009: un premier faisceau de protons arrive dans ATLAS

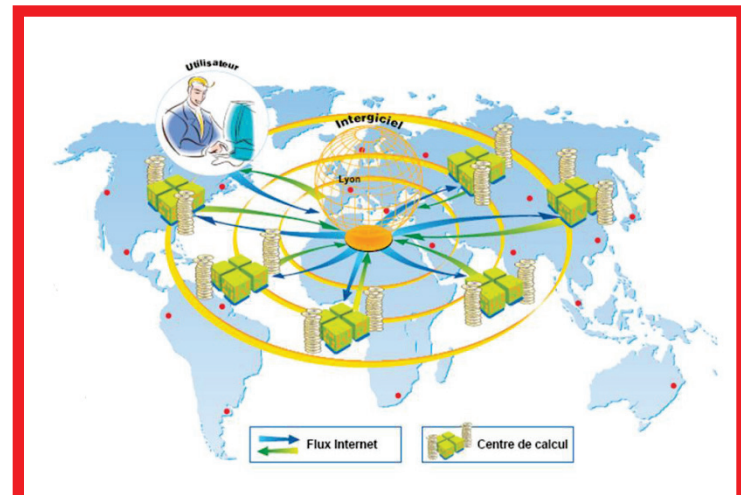


Le défi des données d'ATLAS

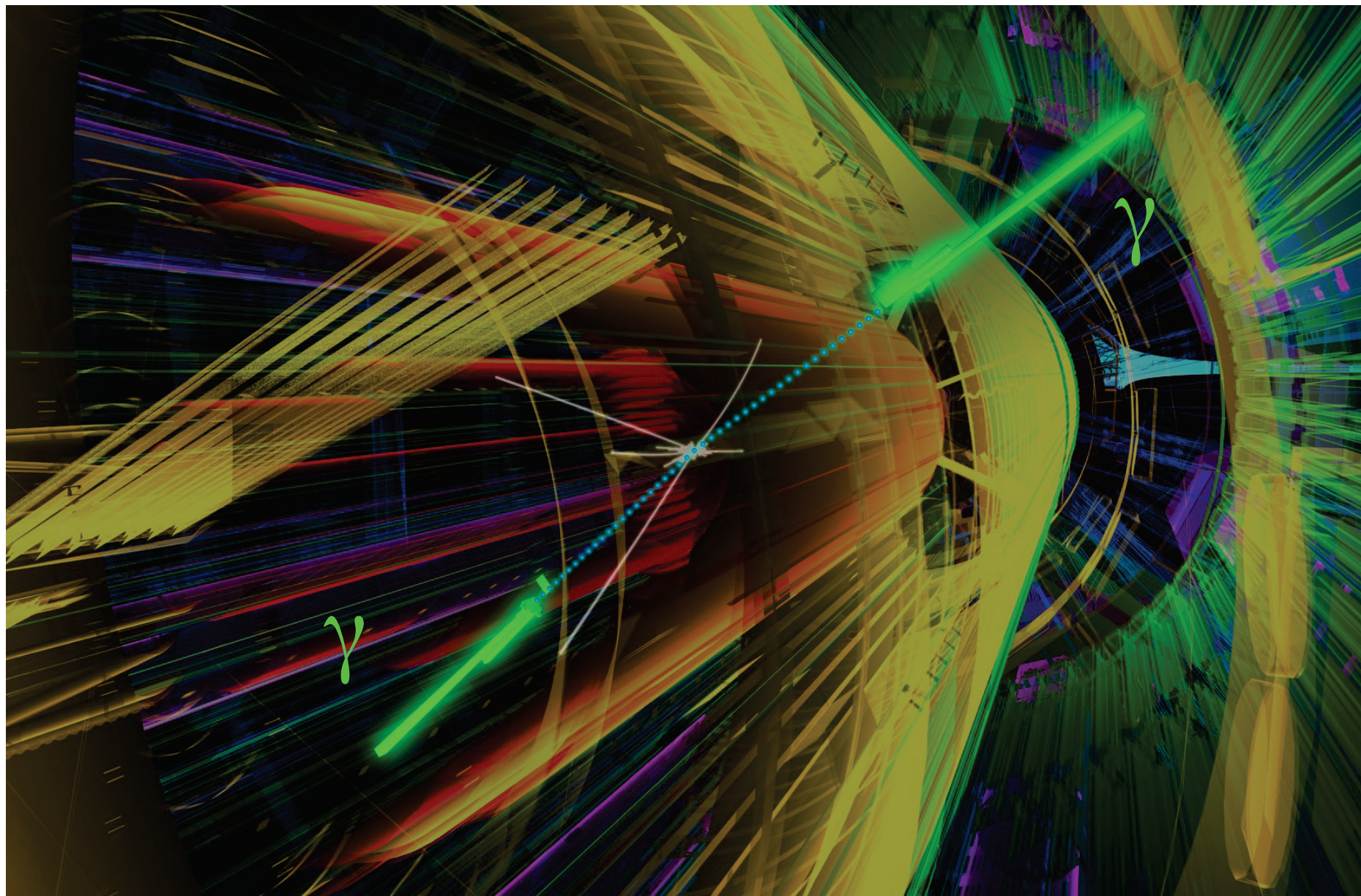
- **Une avalanche de données:**
 - l'équivalent de 10 millions de DVD chaque année !!
- **La solution: la grille de calcul**
 - mettre en réseau des millions d'ordinateurs dans le monde qui se partagent le travail d'analyse des données



- **Après l'invention du World-Wide-Web, le CERN a développé la grille**
 - permet aux physiciens d'analyser les données pour trouver des candidats H par exemple....

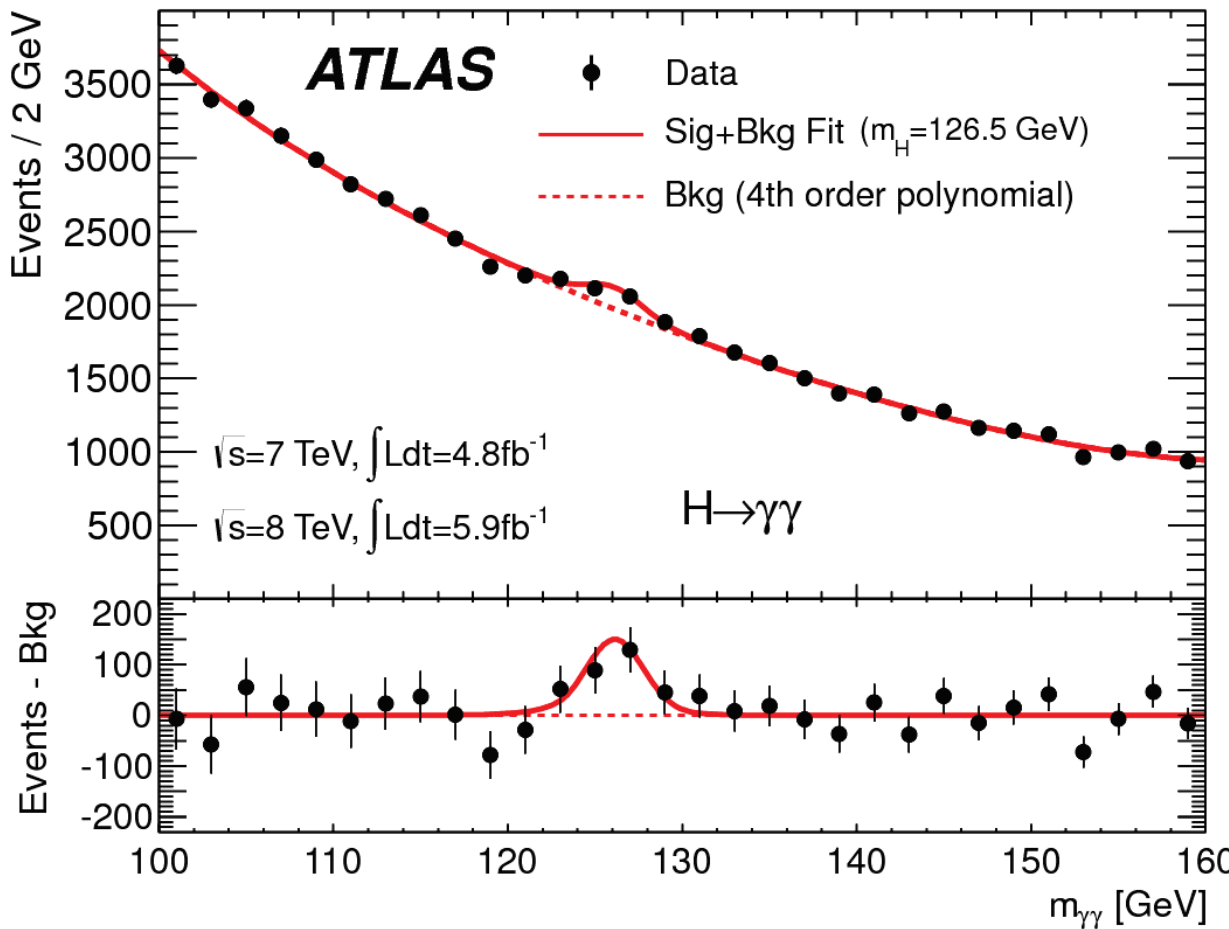


Candidat $H \rightarrow \gamma\gamma$



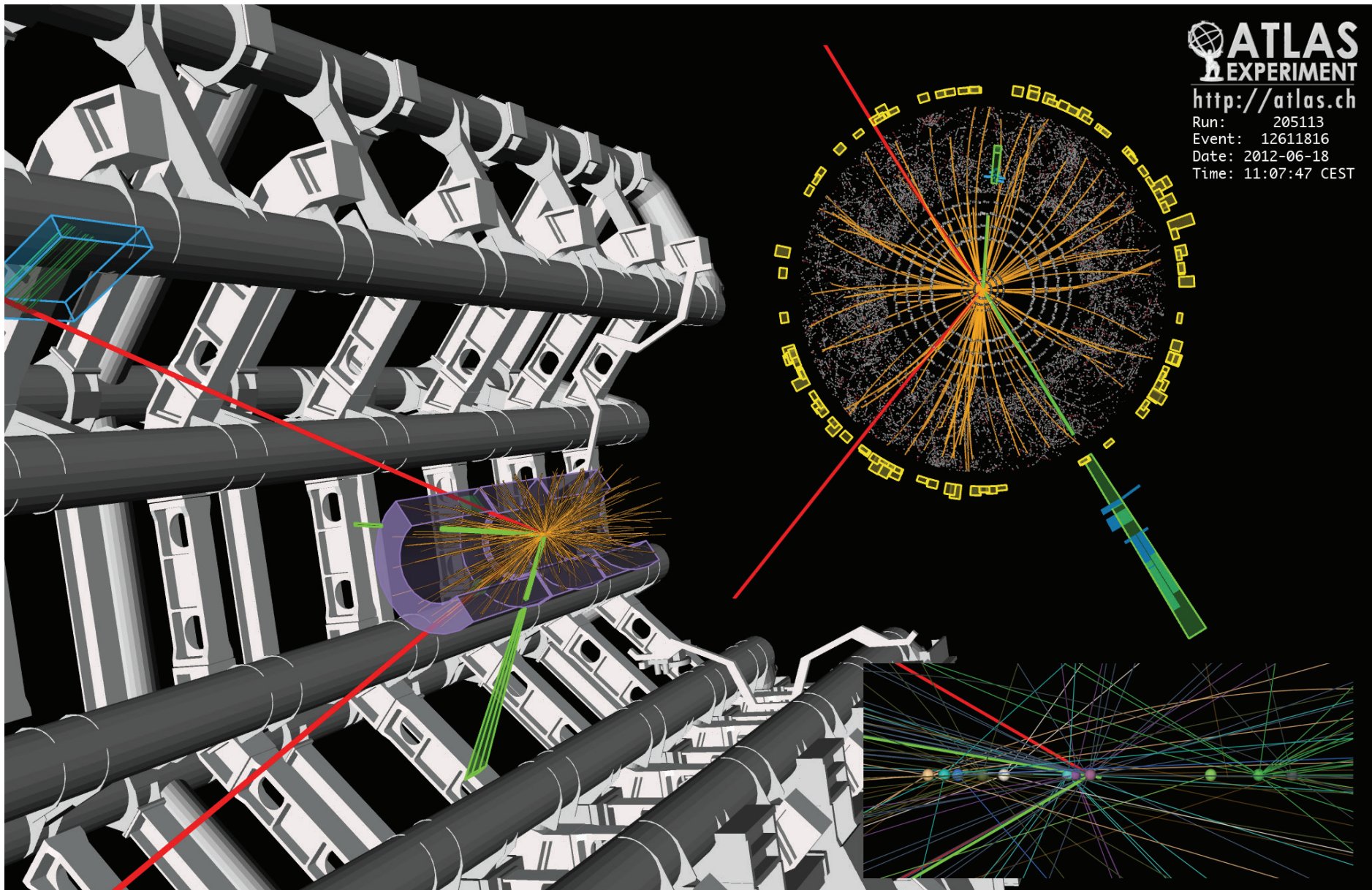
Excès dans le canal $H \rightarrow \gamma\gamma$

$$m_{\gamma\gamma} = \sqrt{2E_1E_2(1-\cos\theta)}$$

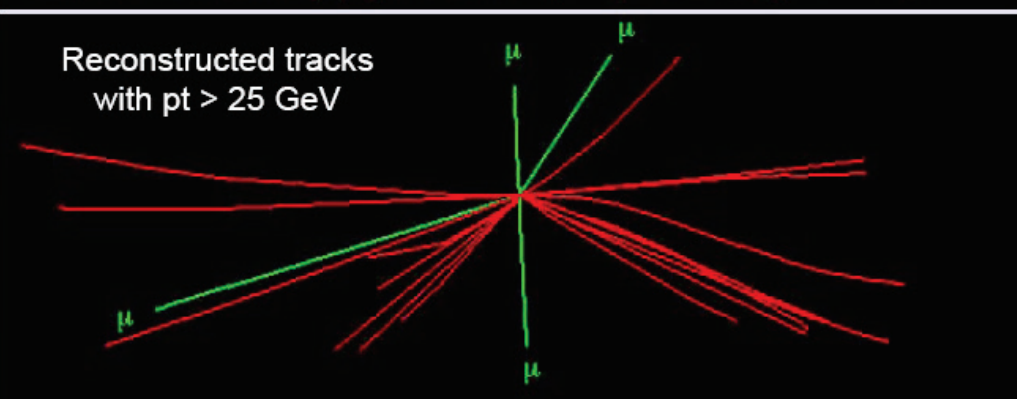
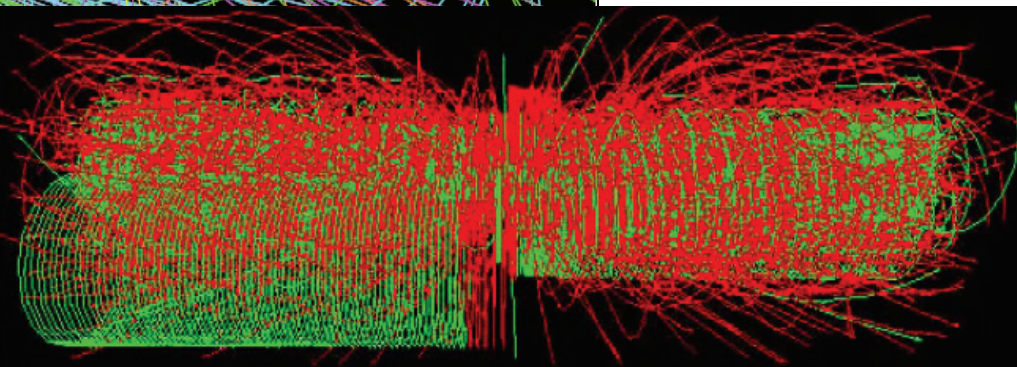
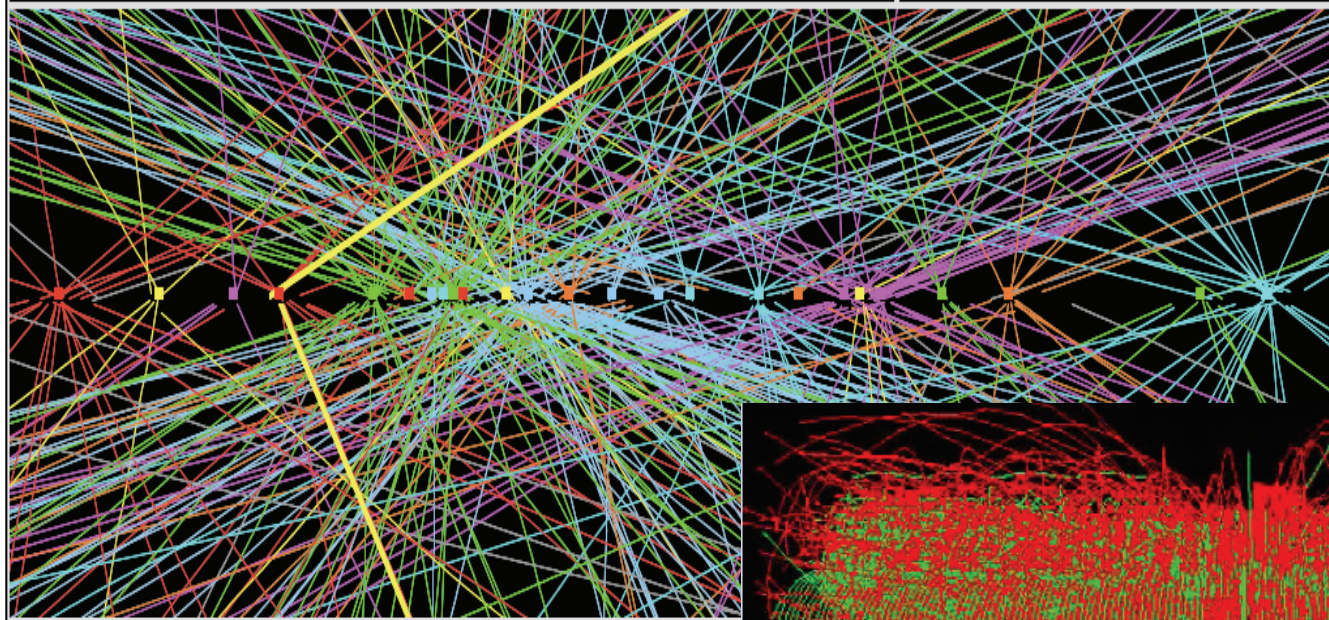


Candidat $H \rightarrow ZZ^* \rightarrow ee\mu\mu$

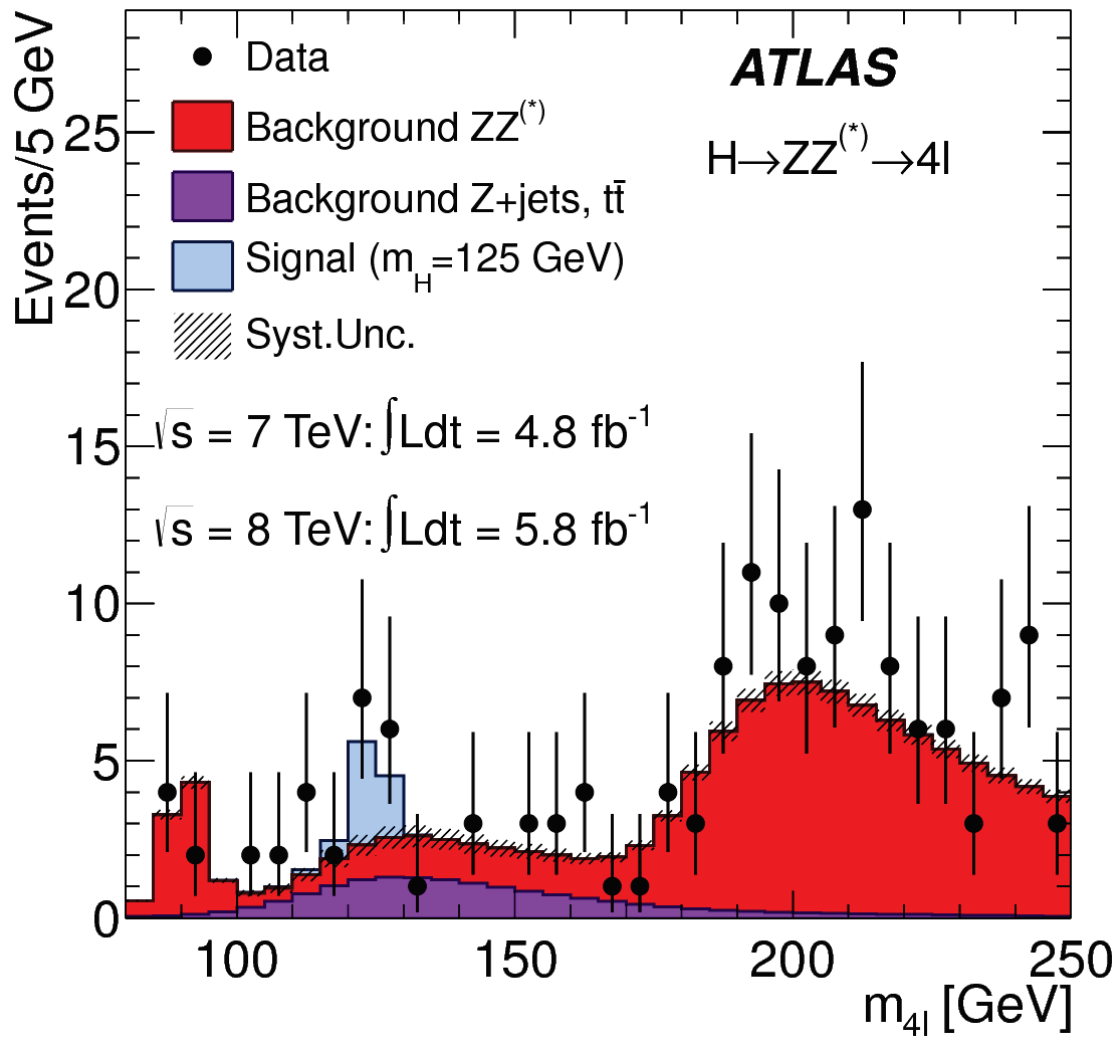
 **ATLAS**
EXPERIMENT
<http://atlas.ch>
Run: 205113
Event: 12611816
Date: 2012-06-18
Time: 11:07:47 CEST



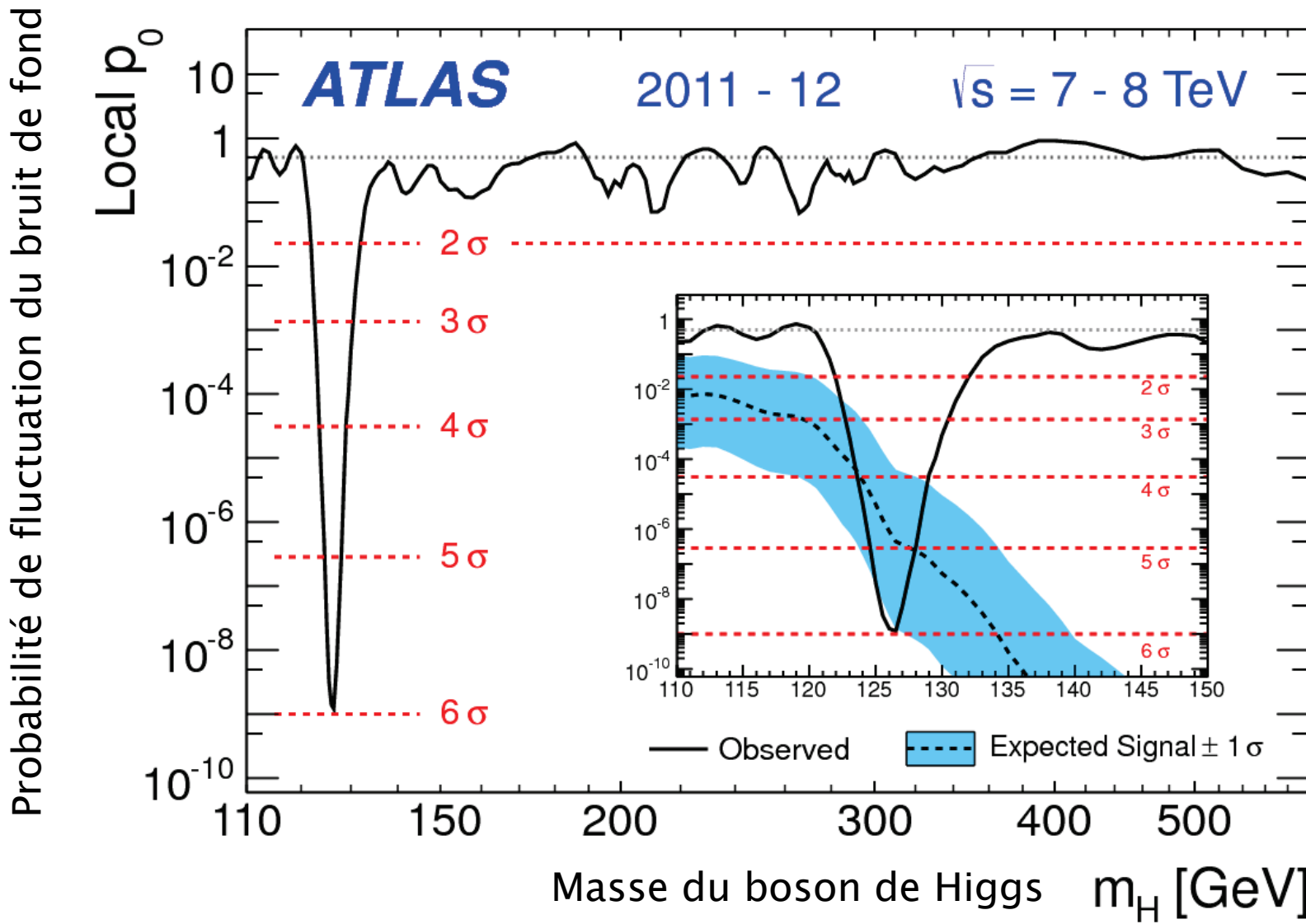
En fait c'est un peu moins net...



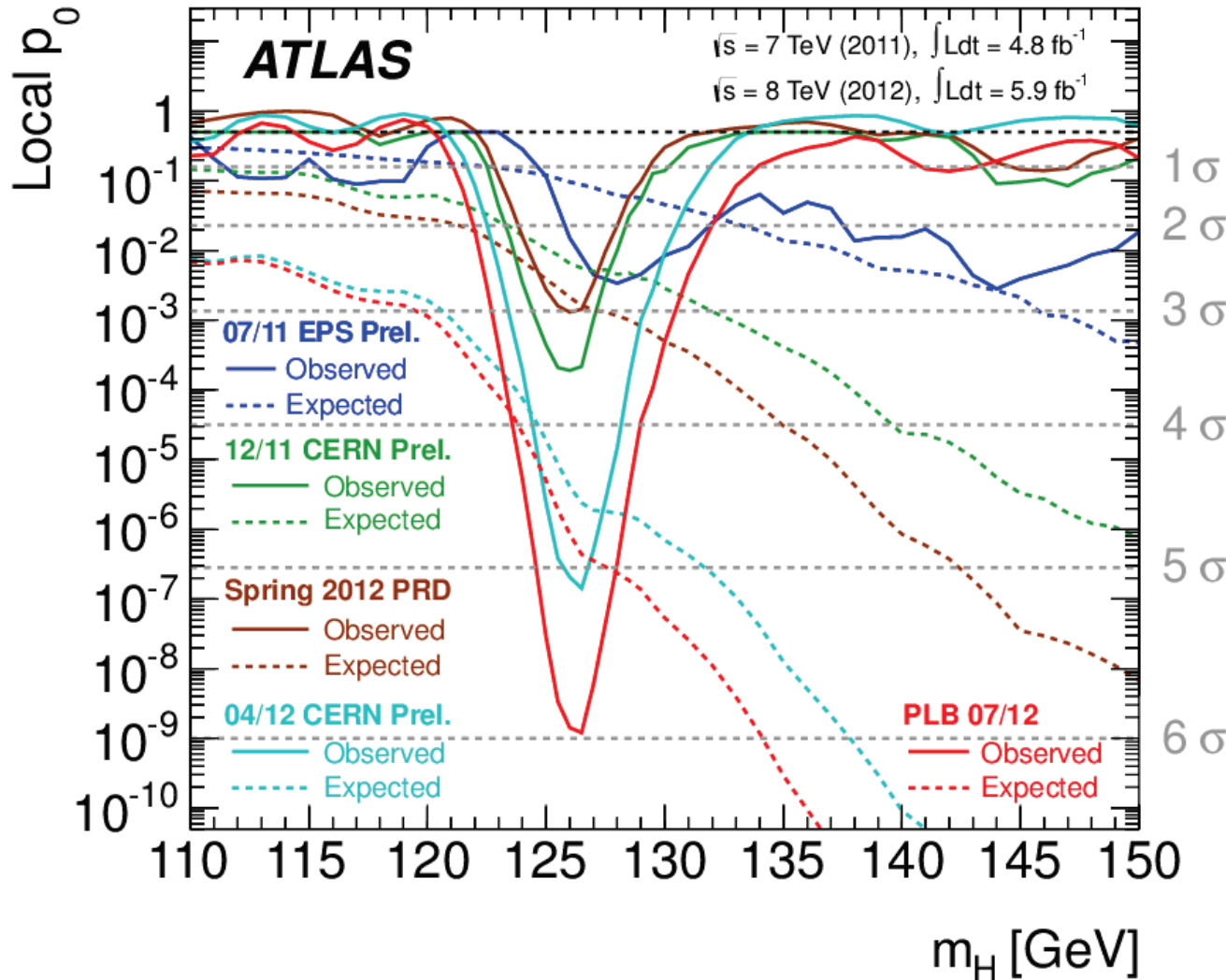
Excès dans le canal $ZZ^*\rightarrow 4l$



Pertinence statistique



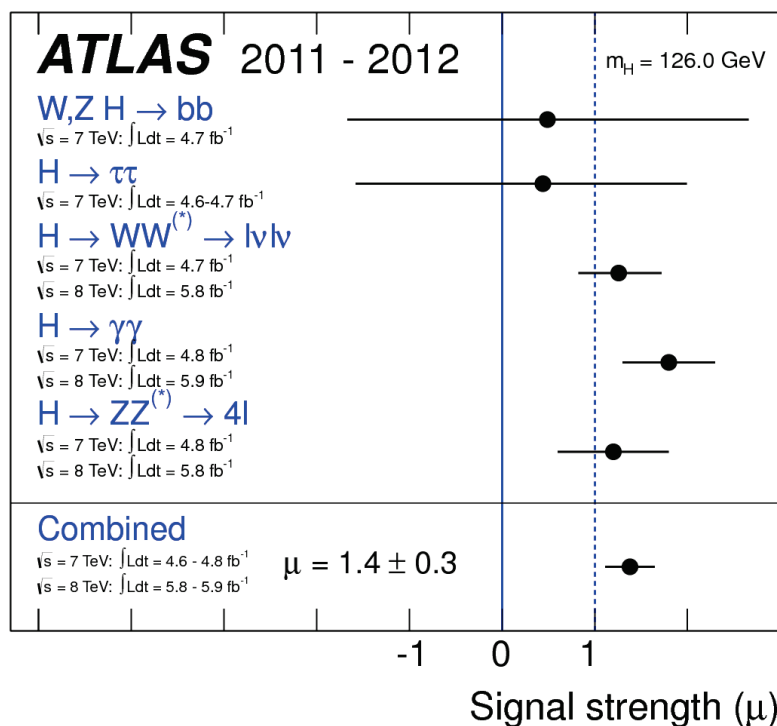
Evolution de p_0 dans le temps



Résultats similaires observés par CMS !!!

Est-ce bien le boson de Higgs du MS ?

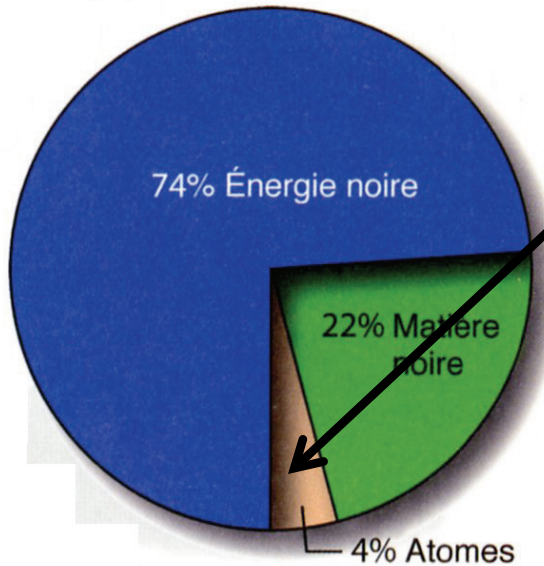
Le boson se désintègre de différentes façons, dans le cadre du MS on peut calculer la probabilité d'occurrence de chacun des modes
→ il faut vérifier que notre boson est compatible avec le calcul



- Quelles sont ses autres propriétés ?
- Y a t-il d'autres bosons de Higgs ?
- Ce boson est-il vraiment une particule élémentaire ?
- Sa masse est-elle compatible avec un état stable du champ de Higgs ?

→ certaines réponses à la fin 2012,
mais plusieurs années nécessaires
encore pour la plupart des questions !

De la place pour l'inconnu ?



ce dont je viens de vous parler !!!

Pourra t-on observer au LHC des particules de matière noire comme celles prédictes par la supersymétrie ?

Asymétrie matière/antimatière ?

Unification ?

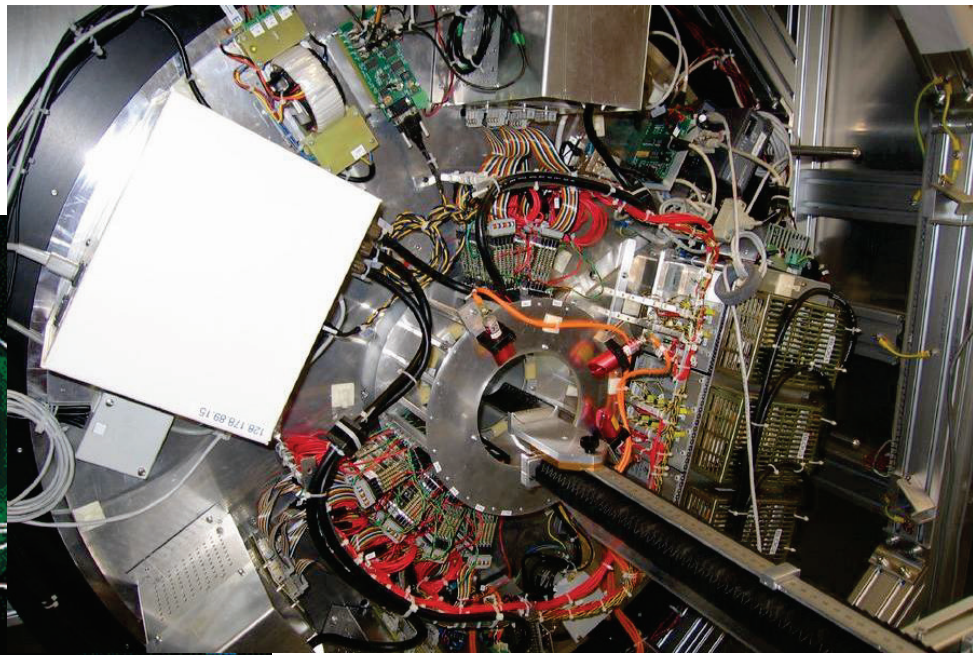
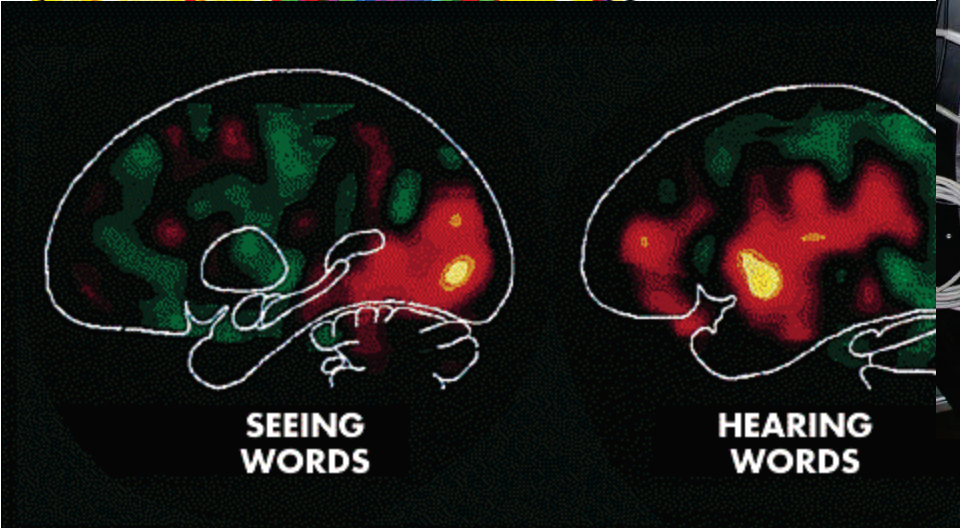
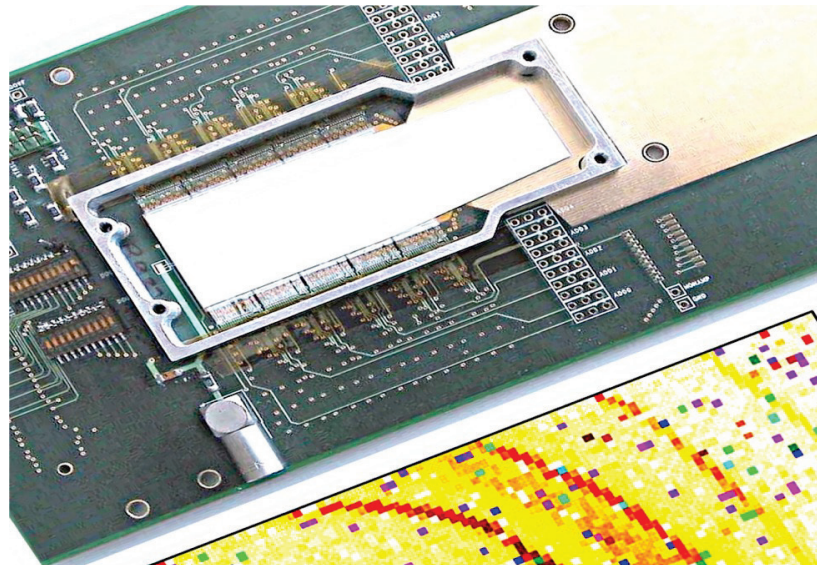
Surprises ?!

Le LHC va être arrêté début 2013 pour ~2 ans de travaux.
Il redémarrera à une énergie de ~14 TeV, a priori jusqu'en 2030...
Patience...!

Déjà des réflexions bien avancées pour une future machine... ☺

FIN

Pixels et imagerie médicale au CPPM



Coût du LHC

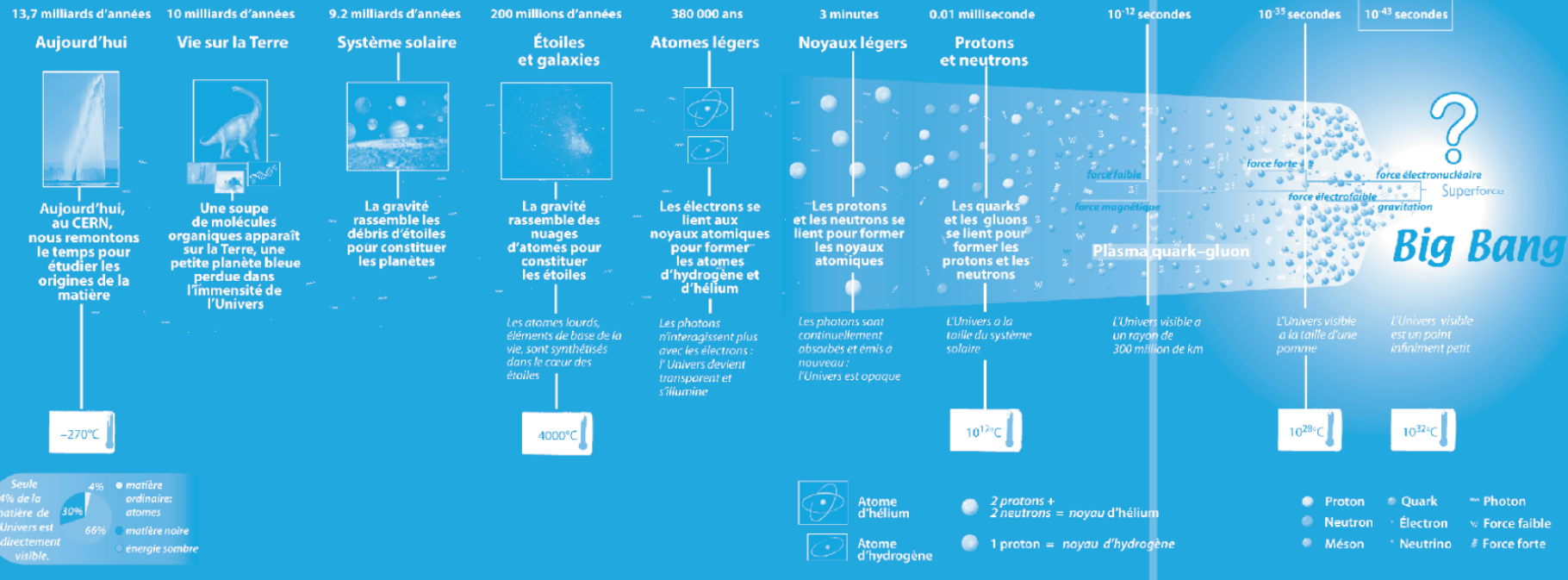
- Coût du LHC: 3 à 5 milliards d'euros, financés sur le budget CERN (i.e. répartis sur ≥ 20 pays et sur 15 ans)
- Budget du CERN: 800 M€ / an
- Fraction payée par la France: 15%
- Retour sur investissement en France: $\sim \times 3$

Une machine à remonter le temps ?!

LHC
↓

Crédit: CERN

Évolution de l'Univers



temps